

## محیط رسوبی سازند قلی در حوضه البرز (ناحیه رباط قره‌بیل)، شمال خاوری ایران

رضا بهبهانی<sup>۱\*</sup>، محمد قویدل سیوکی<sup>۲</sup>، سمیه برجی<sup>۳</sup>، محمود رضا مجیدی‌فرد<sup>۴</sup> و مرتضی یوسفی<sup>۵</sup>

۱- سازمان زمین‌شناسی و اکتشافات معدنی کشور، تهران

۲- انسٹیتوی مهندسی نفت، دانشکده فنی، دانشگاه تهران، تهران

۳- گروه زمین‌شناسی، دانشکده علوم پایه، دانشگاه آزاد اسلامی، واحد تهران شمال، تهران

۴- پژوهشکده علوم زمین، سازمان زمین‌شناسی و اکتشافات معدنی کشور، تهران

۵- سازمان زمین‌شناسی و اکتشافات معدنی کشور، مرکز کردستان، سنندج

نویسنده مسئول: rezabehbahani30@yahoo.com

دریافت: ۹۷/۱۰/۳ پذیرش: ۹۸/۳/۲۲

### چکیده

در این پژوهش، محیط رسوبی سازند قلی با سن اردویسین پسین در شمال خاوری حوضه البرز (ناحیه رباط قره‌بیل؛ کوه کورخود) بررسی شده است. این مطالعه بر پایه بازدیدهای میدانی، سنگ نگاری برش‌های نازک، ساختهای رسوبی و بررسی‌های گرده‌شناسی انجام گرفته است. بر پایه پژوهش انجام‌شده، ۴ مجموعه رخساره سنگی شناسایی شد. سازند قلی در منطقه مورد بررسی از تناب شیل‌های ستبر تا نازک‌لایه، ماسه‌ستگ‌های متوسط تا نازک‌لایه، سنگ‌آهک‌های ماسه‌ای، لای‌سنگ‌های لامینه‌ای و سیل دیابازی ساخته شده است. این مجموعه رخساره‌های سنگی از آرکوز-ساب‌آرکوز، سنگ‌آهک آلومینیم‌دار ماسه‌ای، لای‌سنگ و شیل ساخته شده است. با توجه به ویژگی رخساره‌های سنگی، ساختهای رسوبی و تغییرات عمودی رخساره‌های سازند قلی، محیط رسوب‌گذاری این سازند یک فلات زیر تاثیر امواج و توفان پیشنهاد می‌شود. بر این پایه، محیط رسوبی سازند قلی از پهنه ساحلی زیرین با رخساره‌های زیرین و میانی (با چینه‌بندی مورب پشت‌های سطح فرسایشی، لامیناسیون موازی و مورب) کم کم به یک پهنه ساحلی بالایی با رخساره بالایی (با چینه‌بندی مورب کمانی، ریل مارک موجی، لامیناسیون موازی، دانه‌بندی تدریجی عادی، لامیناسیون مورب تابولار و گوهای) تبدیل شده است که جریان‌های ناشی از توفان و امواج نقش بسزایی در فرایندهای ترابری رسوبات و بازتهنشینی آن‌ها ایفا نموده است. با بهره‌گیری از نمودار تایسون، چهار رخساره گرده‌شناسی (III، IVa، V و VII) شناسایی شد. هم‌چنین، بررسی‌های آماری بر روی پارامترهای گرده‌شناسی دارای درصدی خرد گیاهی، مواد آلی بی‌ریخت و پارامتر تغییرپذیری، نشان‌دهنده یک روند عمومی کم ژرافی‌سازی از پایین به بالای توالی است. مقایسه فراوانی نسبی ریخت گرده‌های دریایی با عنصر گرده شناسی خشکی نشان‌دهنده فراوانی کمتر آکریتارک‌ها و کیتینوزواها نسبت به کریپتوسپورها و خرده‌های گیاهی است که نشان‌گر نهشته شدن سازند قلی در محیط دریایی کم‌ژرف است.

### واژه‌های کلیدی: سازند قلی، حوضه البرز، محیط رسوبی، ساخت رسوبی، رخساره سنگی، رخساره‌های گرده شناسی

ایران که در کرانه جنوبی اوراسیا قرار گرفته است (وندت و همکاران، ۲۰۰۵). در طی این مدت، یک دریای کم‌ژرف‌باخش گندوانایی ایران را پوشانیده است (وندت و همکاران، ۲۰۰۵). سرزمین ایران هم‌زمان با تکامل اقیانوس تیسیس دیرینه (اردویسین-سیلورین) به تدریج از گندوانا جدا شده و در پرمین-تریاس به حاشیه جنوبی اوراسیا متصل شده است (وندت و همکاران، ۲۰۰۵؛ موتونی و همکاران، ۲۰۰۹)، ماقماییسم اردویسین-دونین در البرز و ایران مرکزی می‌تواند نشان‌دهنده آغاز کافت‌زایی اقیانوس تیسیس دیرینه باشد (صالحیان،

### مقدمه

رشته کوه البرز در شمال ایران با ۲۰۰۰ کیلومتر درازا از رشته کوه قفقاز کوچک در کشورهای ارمنستان و آذربایجان در شمال باختری تا افغانستان در خاور کشیده شده است (علوی، ۱۹۹۶). بر پایه جایگاه جغرافیایی و زمین‌شناسی، رشته کوه البرز به بلوک‌های باختری، میانی و خاوری (ناحیه مورد بررسی) تقسیم شده است. بر پایه نظر گولونکا و همکاران (۱۹۹۴) ایران در کرانه شمالی گندوانا در طی دیرینه زیستی قرار گرفته است (به استثنای باخش کوچکی در شمال خاوری

شهرود) را یک محیط دریایی ژرف زیر تاثیر جریان‌های آشفته پیشنهاد کردند. قویدل سیوکی و خنداپی (۱۳۹۱) بر پایه وجود گونه‌های مختلف کیتینوزوا و آکریتارک‌ها، محیط رسوبی سازند قلی در دره سلطان-میدان (شمال شهرود) را دریای کم‌ژرف‌شاناسایی کردند. قویدل سیوکی و همکاران (۱۳۸۷) با توجه به فراوانی کرپتوسپورها، کیتینوزواها، آکریتارک‌ها و اسکلوکودونتها محیط رسوبی سازند قلی را در ناحیه خوش‌بیلاق، دریای کم‌ژرف‌شاناسایی کردند.

### جاگاه جغرافیایی و راه‌های دسترسی به منطقه مورد بررسی

جاگاه جغرافیایی قاعده برش چینه‌شناسی مورد بررسی ۳۷ درجه و ۲۳ دقیقه عرض شمالی و ۵۶ درجه و ۲۱ دقیقه طول خاوری است. رباط قره‌بیل یکی از روستاهای استان خراسان شمالی و از توابع شهرستان گرگان است. این روستا در کنار جاده گرگان-جنورد با فاصله نزدیک ۲۰ کیلومتری در خاور جنگل گلستان و ۱۱۰ کیلومتری باخته جنورد قرار دارد. راه‌های اصلی منطقه مورد بررسی جاده آسفالته ترانزیتی گرگان-جنورد و هم‌چنین جاده آسفالته تهران-مشهد است (شکل ۱).

### مواد و روش‌ها

در این پژوهش یک برش سطحی به ستبرای ۱۸۳ متر از رخمنون سازند قلی در ناحیه رباط قره‌بیل انتخاب و مورد بررسی قرار گرفته شد. در این برش نمونه‌برداری ۶۲ نمونه، ۵۶ نمونه از سازندهای پادها و خوش‌بیلاق) به طور سیستماتیک و بر پایه تغییرات سنگ‌شناسی، رنگ و لایه‌بندی انجام گرفت. در ناحیه مورد بررسی، مرز میان سازندهای قلی و باروت گسله و موز بین سازندهای قلی و پادها از نوع ناپیوستگی هستند. برای انجام بررسی‌های سنگ‌نگاری، از نمونه‌های برداشت شده برش نازک تهیه شد. بررسی سنگ‌نگاری برای سنگ‌های آمیخته آواری-کربناته شامل شناسایی اجزای آلوکم (اسکلتی)، بررسی ویژگی‌های بافتی دانه‌های آواری (جورشدگی، گردش‌گی و اندازه دانه‌ها)، انواع سیمان‌ها و برای سنگ‌های آواری شامل شناسایی نوع،

۱۳۹۰؛ قاسیمی و کاظمی، ۱۳۹۲؛ قاسیمی و همکاران، ۱۳۹۴). سنگ‌های آذرین سازند قلی (اردویسین پسین) نشان‌دهنده ماقماتیسم وابسته به شکل گیری اقیانوس تیس دیرینه در البرز خاوری در اردویسین است (قاسیمی و درخشی، ۱۳۸۷؛ قاسیمی و کاظمی، ۱۳۹۲؛ درخشی و همکاران، ۱۳۹۳).

بررسی رخساره‌های گرده شناسی نقش مهمی در تفسیر حوضه‌های رسوبی، شناخت پتانسیل هیدروکربن‌زایی و چینه‌نگاری سکانسی ایفا می‌کند (آبه‌ایکینوبه و ویلیرس، ۲۰۰۳؛ ارسگو و کاستیک، ۲۰۰۶). در بسیاری از توالی‌ها به ویژه در چینه‌های بسیار نازک لایه و ریزدانه، هر چه فواصل نمونه‌برداری کم‌تر باشد، شانس کنترل دقیق تر تغییرات رخساره‌های گرده‌شناسی و به پیروی از آن، شناسایی تغییرات جزئی در محیط رسوبی بیش‌تر خواهد شد (تراورس، ۲۰۰۷). شاخص‌های گرده شناسی مفید برای تفسیر دیرینه‌بوم‌شناسی و شناسایی محیط رسوبی شامل مواد آلی (کروزان) مانند خرد گیاهی‌ها<sup>۱</sup> (پالینوماسرال‌ها)، مواد آلی بی‌ریخت، ریخت گرده‌های دریایی<sup>۲</sup> و غیره می‌باشد (تراورس، ۲۰۰۷). با توجه به این‌که در پژوهش‌های پیشین، محیط‌های رسوبی متفاوت برای سازند قلی در نواحی مختلف شناخته شده است (جزئیات این پژوهش‌ها در بخش پژوهش‌های پیشین آورده شده است)، بر آن شدیم که با ترکیبی از بررسی‌های گرده شناسی (عناصر و رخساره‌های گرده‌شناسی)، سنگ‌شناسی و شناسایی ساخته‌های رسوبی و رخساره‌های سنگی به بررسی محیط رسوبی بخش زیرین توالی رسوبی دیرینه زیستی (اردویسین پسین) در کوه کورخود در شمال روستای رباط قره‌بیل بپردازیم.

### پژوهش‌های پیشین

برخی پژوهش‌گران رخساره‌ها و محیط‌رسوبی سازند قلی را بررسی نموده‌اند. طاهری و حیدرنسی (۱۳۸۳) محیط رسوبی سازند قلی در ناحیه دهملا (باخت

<sup>1</sup> Phytoclasts (PH)

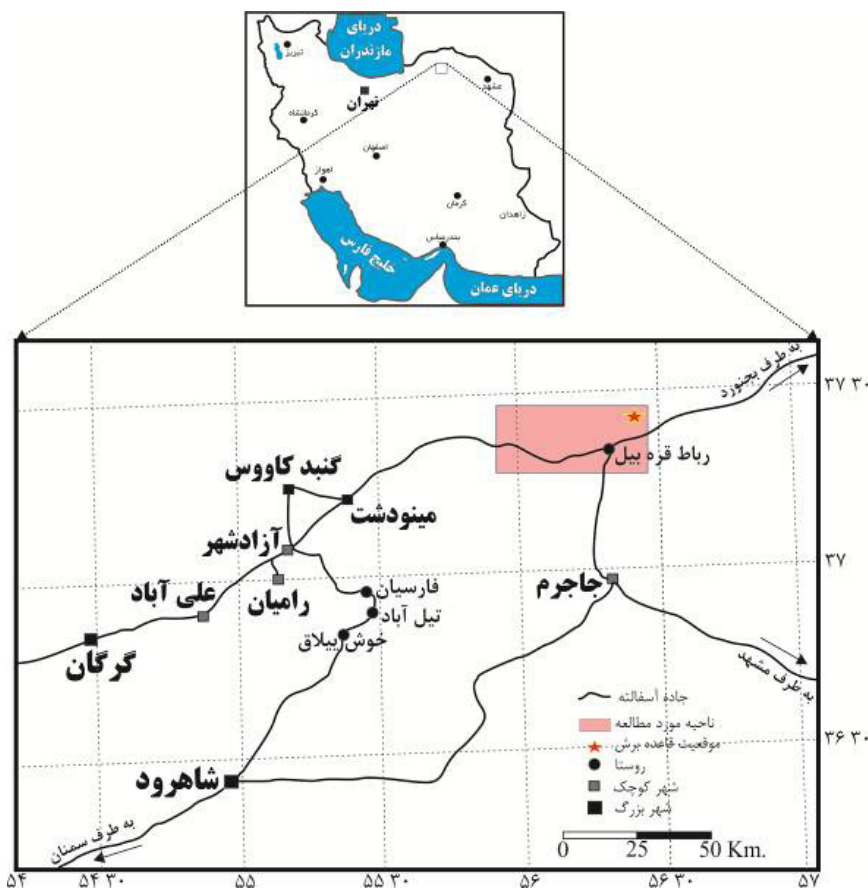
<sup>2</sup> Amorphous organic matter (AOM)

<sup>3</sup> Marine palynomorphs (MP)

شناسی (فیپس و پلیفورد، ۱۹۸۴؛ تراورس، ۲۰۰۷) اسلامیدهای دائمی (در مجموع ۳۱۸ اسلامید) تهیه شد. برای انجام بررسی‌های آماری و شناسایی رخساره‌های گرده شناسی، در هر اسلامید عناصر موجود در ۵ میدان دید تصادفی (۱۵ میدان دید از هر نمونه) با بزرگنمایی ۴۰۰ برابر اندازه طبیعی شمارش شد. لازم به گفتن است که برای شناسایی عناصر و رخساره‌های گرده شناسی از رده‌بندی تایسون (۱۹۹۳ و ۱۹۹۵) بهره‌گیری شد.

فراآنی و اندازه اجزای سازنده سنگ، ویژگی‌های بافتی (جورشدگی و گردشیدگی) و نوع سیمان بود. همچنین ساختهای رسوبی در بازدیدهای میدانی شناسایی شدند. نام‌گذاری سنگ‌های آواری بر پایه روش پتی جان و همکاران (۱۹۸۷) و نام‌گذاری سنگ‌های آمیخته آواری-کربناته از روش مونت (۱۹۸۵) انجام پذیرفت. بر پایه مجموعه رخساره‌های سنگی و ساختهای رسوبی شناسایی شده، مدل محیط رسوبی این سازنده پیشنهاد شد.

همچنین در این پژوهش ۱۰۶ نمونه مناسب شیلی انتخاب و با بهره‌گیری از روش‌های معمول در گرده

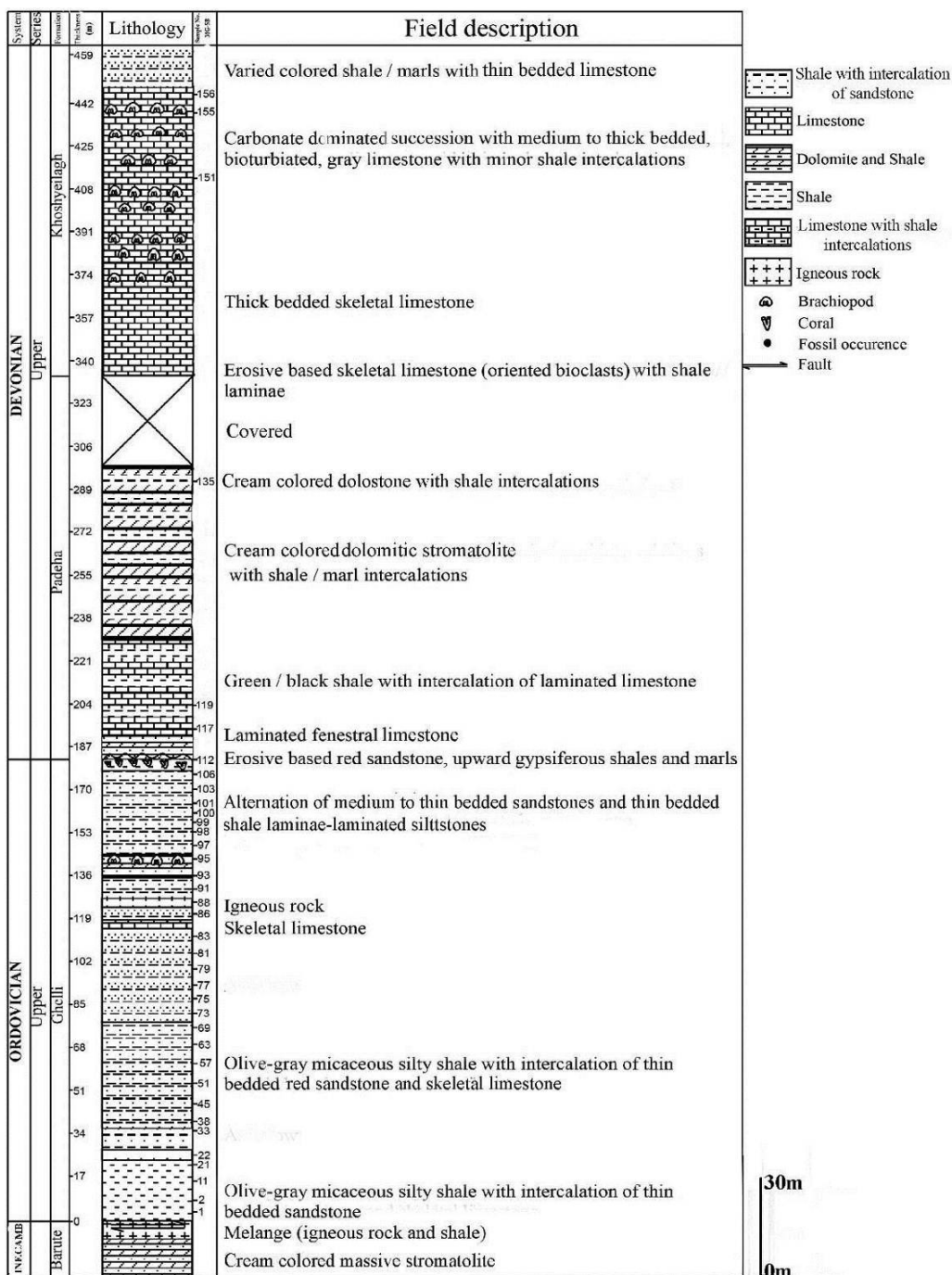


شکل ۱. نقشه راه‌های دسترسی و جایگاه جغرافیایی ناحیه مورد بررسی

توالی رسوبات پرکامبرین و پالئوزوئیک در کوه کورخود (ناحیه مورد بررسی) به ترتیب از پایین به بالا شامل سازندهای باروت (پرکامبرین پسین)، قلی (اردوبیسین پسین)، پادها و خوش‌بیلاق (دونین پسین) هستند (شکل ۲ و ۳ الف).

#### سنگ‌چینه‌نگاری دیرینه زیستی در ناحیه مورد بررسی

واحدهای سنگ‌چینه‌ای دیرینه زیستی در محدوده البرز خاوری شامل سازندهای قلی، نیور، پادها، خوش‌بیلاق و مبارک می‌باشند (سهیلی و افسار‌حرب، ۱۳۵۹).



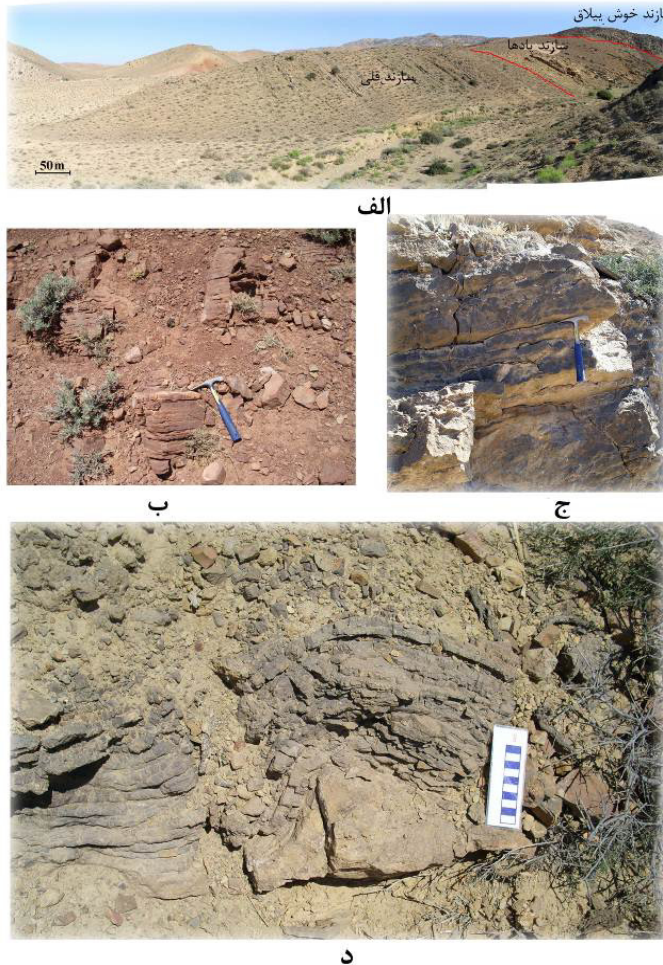
شکل ۲. توالی سنگ‌چینه‌نگاری دیرینه زیستی در کوه کور خود در رباط قره‌بیل

شیل‌های زیتونی- خاکستری با ماسه‌سنگ نازک‌لایه سرخ رنگ، سنگ‌آهک‌های اسکلتی (فسیل‌دار)، سیل‌های نفوذی (سنگ آذرین) با ستبرای ۱ متر، لای سنگ‌های لامینه‌ای و ماسه‌سنگ‌های متوسط تا ستبرای سازند پادها با ستبرای ۱۵۱ متر از تناب شیل، لای سنگ (شکل ۳ ب) و ماسه‌سنگ‌های سرخ‌رنگ،

با عبور گسل آلمه از قاعده رسوبات سازند قلی در کوه کور خود (سهیلی و افشار حرب، ۱۳۵۹)، این سازند بر روی سازند باروت قرار گرفته و با ناپیوستگی (وقفه رسوب‌گذاری در بازه زمانی سیلورین (برجی، ۱۳۹۶؛ قویدل‌سیوکی و برجی، ۲۰۱۸)) سازند پادها، سازند قلی را می‌پوشاند. سازند قلی با ستبرای ۱۸۳ متر از تناب

فرسایشی دارای قطعات فسیلی جهت یافته ختم شده به لامینه‌های شیل، سنگ‌آهک‌های اسکلتی ستبرلایه، سنگ آهک‌های متوسط-ستبرلایه خاکستری رنگ (شکل ۳ ج) دارای زیست‌آشفتگی همراه با مقادیر کمی میان‌لایه‌های شیلی و شیل-مارن‌های رنگین با سنگ‌آهک نازک لایه تشکیل شده است (شکل ۳).

شیل‌ها و مارن‌های ژیپس‌دار، سنگ‌آهک‌های لامینه‌ای با فایبریک پنجره‌ای، شیل‌های سیاه-سبز رنگ با میان لایه‌هایی از سنگ‌آهک‌های لامینه‌ای، استروماتولیت‌های دولومیتی کرم رنگ (شکل ۳ د) با میان‌لایه‌هایی از شیل-مارن و سازند خوش‌بیلاق با ستبرای ۱۲۴ متر از سنگ‌آهک‌های اسکلتی با قاعده



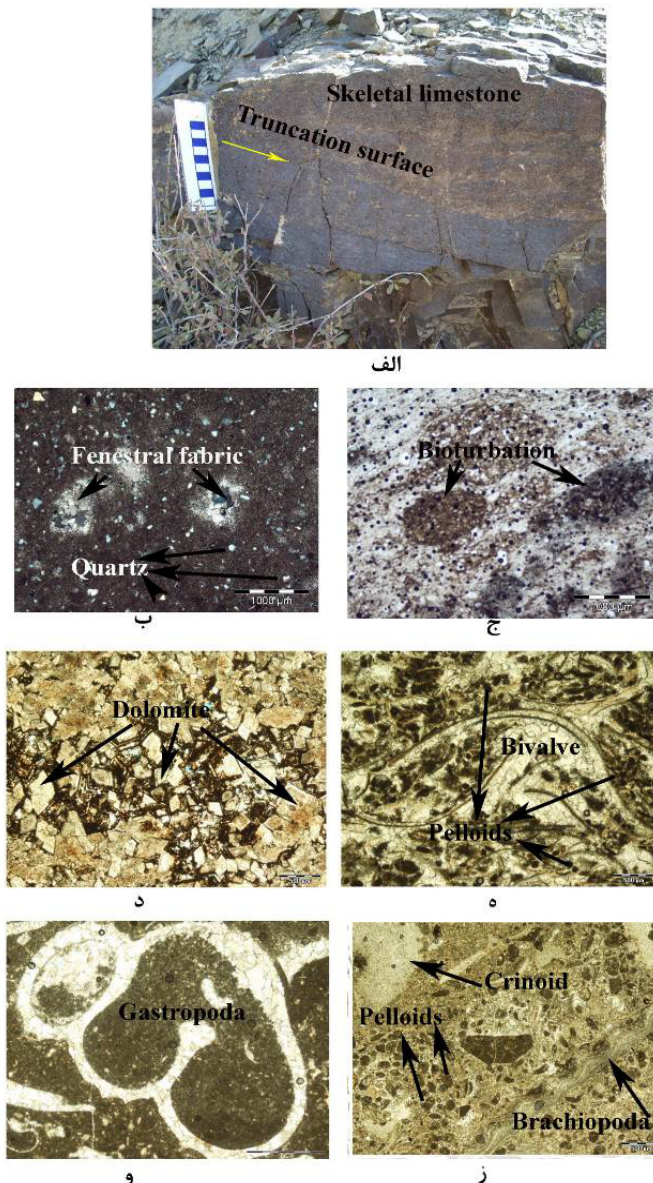
شکل ۳. (الف) همبُری سازندهای قلی، پادهای و خوش‌بیلاق در رباط قره‌بیل، دید به سمت شمال. (ب) تناوب شیل و لای سنگ‌های سرخ رنگ قاعده سازند پادهای در ناحیه مورد بررسی. (ج) سنگ‌آهک‌های متوسط-ستبر لایه خاکستری رنگ در بخش بالایی سازند خوش‌بیلاق. (د) استروماتولیت‌های گنبدهای شکل در بخش میانی سازند پادهای در ناحیه مورد بررسی.

(ب) و زیست‌آشفتگی (شکل ۴ ج) در بخش زیرین سازند پادهای، سنگ دولومیتی بلورین (دولوستون) (شکل ۴ د) در بخش بالایی سازند پادهای، گرینستون بیوکلاستی (دارای دوکفه‌ای) پلوییدار، وکستون-پکستون بیوکلاستی (دارای گاستروپود) (شکل ۴ و) و گرینستون بیوکلاستی (دارای براکیوپود و کرینوپید) پلوییدار (شکل ۴ ز) در بخش بالایی سازند خوش‌بیلاق اشاره نمود.

با بررسی‌های میدانی و سنگنگاری برش‌های نازک تهیه شده از برخی بخش‌های سازندهای پادهای و خوش‌بیلاق می‌توان به سنگ‌آهک‌های اسکلتی با سطح فرسایشی<sup>۱</sup> (شکل ۴ الف) در قاعده سازند خوش‌بیلاق، گل‌سنگ‌های آهکی<sup>۲</sup> با فایبریک پنجره‌ای دارای دانه‌ها کوارتز در اندازه لای (سیلت) متوسط-درشت (شکل ۴

<sup>1</sup> Truncation surface

<sup>2</sup> Lime mudstone



شکل ۴. (الف) سطح فرسایشی در سنگ‌آهک اسکلتی در بخش زیرین سازند خوش‌بیلاق. ب و (ج) گل‌سنگ‌های آهکی با فابریک پنجره‌ای دارای دانه‌ها آواری کوارتز (نمونه ۱۱۷ xpl) و دارای زیست‌آشتفتگی (نمونه ۱۱۹ ppl) در بخش زیرین سازند پادها. (د) بلورهای لوزی شکل دولومیت در دولوستون (نمونه ۱۳۵) در بخش بالایی سازند پادها. (پ) گرینستون بیوکلاستی پلوییددار (نمونه ۱۵۱) در بخش بالایی سازند خوش‌بیلاق. (پ) و کستون بیوکلاستی (دارای گاستروپود) (نمونه ۱۵۵) در بخش بالایی سازند خوش‌بیلاق. (ز) گرینستون بیوکلاستی (دارای کرینوپید و براکیوپود) پلوییددار (نمونه ۱۵۶) در بخش بالایی سازند خوش‌بیلاق. (ز) جایگاه نمونه‌های برداشت‌شده در شکل ۲ آورده شده است.

شیل‌های زیتونی- خاکستری (۱۰-۱۴ متر ستبرای) سیلیتی میکادر قرار گرفته‌اند (شکل ۵ الف). در این مجموعه، نسبت شیل به ماسه‌سنگ بالا است. تغییرات جانشی در این مجموعه رخساره دیده نشد. بخش ماسه‌سنگی این مجموعه از ماسه‌سنگ‌های (ساب آرکوز- آرکوز) ریزمتوسطدانه، نیمه‌زاویه‌دار- نیمه‌گردشده،

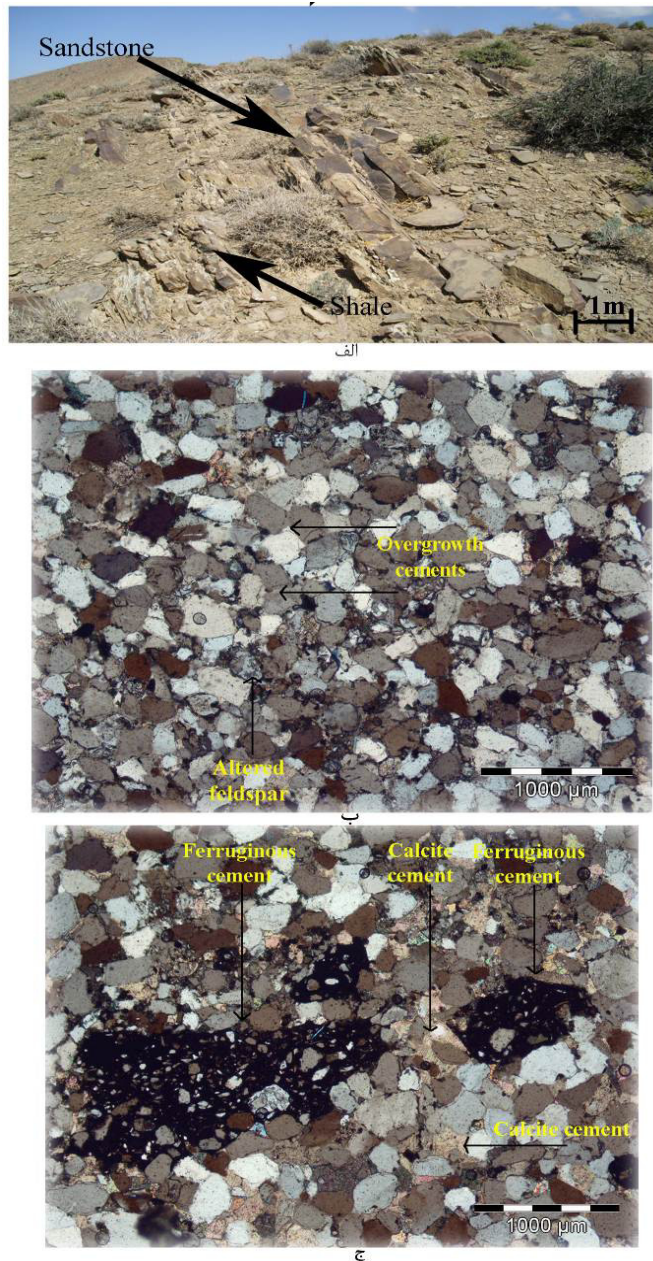
#### رخساره‌های سنگی سازند قلی در ناحیه مورد بررسی

#### مجموعه رخساره شیل‌سیلیتی میکادر و ماسه‌سنگ نازک‌لایه (رخساره زیرین)

ماسه‌سنگ‌های این مجموعه رخساره قهقهه‌ای- خاکستری رنگ (۱-۴ متر ستبرای) می‌باشند که در تناب با

بین‌دانه‌ای و آهن‌دار (اکسید آهن) هستند (شکل‌های ۵ ب و ج). در بخش‌های ماسه‌سنگی و شیلی (شیل‌سیلتی میکادار) این مجموعه آثاری از زیست‌آشفتگی و ساخت‌های رسوبی (مانند لامیناسیون موازی و لایه بندی مورب) دیده نشد.

دارای جورش‌گی متوسط- خوب و فلدسپارهای دگرسان شده ساخته شده است (شکل‌های ۵ ب و ج). بیشتر دانه‌های کوارتز، تکبلوری با خاموشی یکنواخت و شمار کمتری دانه‌های کورتر چندبلوری با تماس‌های مضرس داخلی دیده شد. این ماسه‌سنگ‌ها دارای سیمان‌های سیلیسی رورشی هم‌محور (رشد ثانوی)، کلسیتی

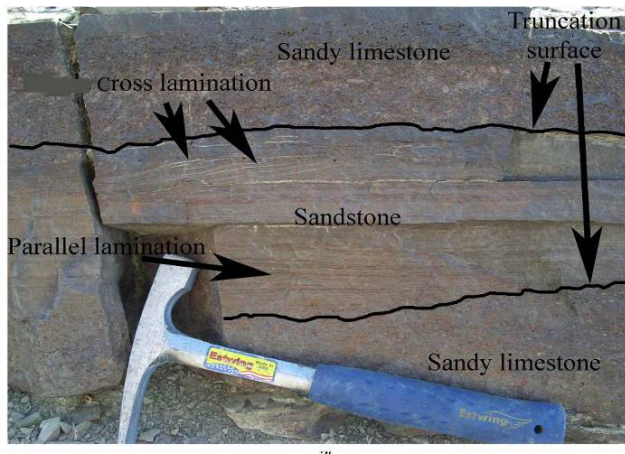


شکل ۵. (الف) تناوب شیل‌های ستبرلایه با ماسه‌سنگ‌های نازک‌لایه در مجموعه رخساره شیل میکادار و ماسه‌سنگ نازک‌لایه در سازند قلی، دید به سمت شمال. (ب) سیمان‌های سیلیسی رورشی هم‌محور (رشد ثانوی) (Overgrowth cements) و فلدسپار دگرسان شده Altered feldspar با ظاهری غبارآسود در آرکوز - ساب‌آرکوزهای مجموعه مذکور، xpl. (ج) سیمان آهن‌دار (اکسید آهن) (Ferruginous cement) و کلسیتی بین‌دانه‌ای، xpl. به نیمه‌گرد بودن دانه‌ها کوارتز، دانه‌ها نیمه‌زاویه‌دار - نیمه‌گردشده شناور در داخل سیمان‌های آهن‌دار توجه شود.

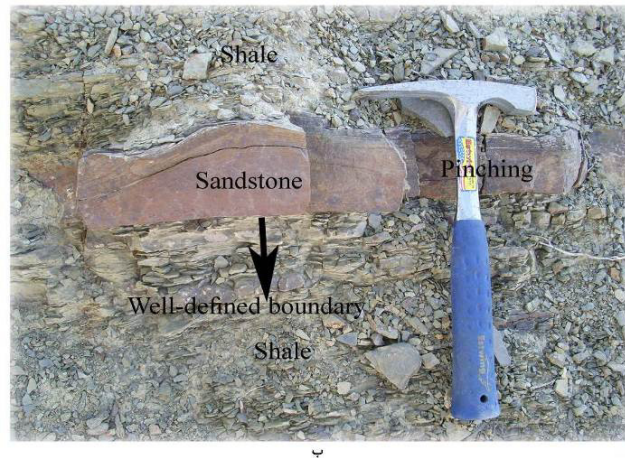
قرار گرفته‌اند (شکل‌های ۶ الف و ب). در این مجموعه رخساره مانند مجموعه پیشین نسبت شیل به ماسه‌سنگ بالا است. بخش ماسه‌سنگی از آرکوز- ساب‌آرکوزهای ریزمتوسطدانه، نیمهزاویدار- نیمه‌گردشده، با جورشدگی متوسط- خوب و فلديسپارهای غالباً دگرسان شده تشکيل شده است. اين بخش داراي سيمان‌های سيليسى روئشدي هم محور و اكسيد آهن هستند.

مجموعه رخساره شيل‌سيلتى ميکادر- ماسه‌سنگ نازک‌لايه سرخ رنگ و سنگ‌آهک ماسه‌ای (رخساره ميانى)

شيل‌های زيتونی- خاکستری سيلتى (۱۲-۹ متر سtribra)، ماسه‌سنگ‌های (آرکوز- ساب‌آرکوز) نازک‌لايه سرخ رنگ (۱/۵-۱ متر سtribra) با سنگ‌آهک‌های آلوکم‌دار ماسه‌ای (۱/۲-۱ متر سtribra) خاکستری سرخ رنگ به طور متناوب



الف



شکل ۶. الف) تناوب ماسه‌سنگ و آهک‌ماسه‌ای در رخساره ميانى. به لامينايشون مورب و لامينايشون موازي در بخش ماسه‌سنگی و سطح زيرين فرسايشى در بخش‌های ماسه‌سنگی و سنگ‌آهک‌ماسه‌ای توجه شود. ب) تناوب ماسه‌سنگ و شيل در رخساره ميانى. به چينه‌بندی مورب پشت‌های (Hummocky cross stratification) در بخش ماسه‌سنگی و نازک‌شندگی (Pinching) در آن توجه شود. بخش ماسه‌سنگی با مرز مشخص بر روی بخش شيلی قرار گرفته است.

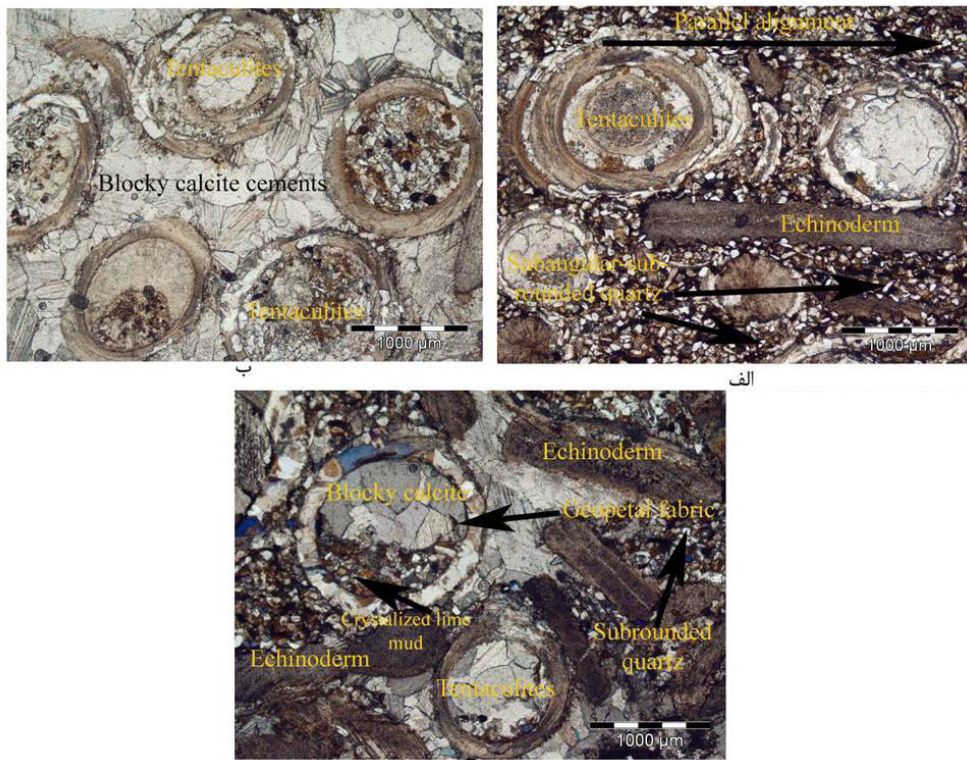
نيمه‌گردشده- نيمهزاویدار (عمدتاً نيمه‌گردشده) در اندازه سيلت درشت- ماسه‌ريز می‌باشد. صف‌بندی مواري<sup>۱</sup> قطعات بيوكلاستي (شکل ۷ الف) و فابريک ژيوپتال (در

اكثر دانه‌های کوارتز مانند مجموعه پیشین، تک‌بلوري با خاموشی يکواخت و تعداد کمتری کوارتز چندبلوري هستند. بخش شيلی اين مجموعه مانند مجموعه رخساره پیشین است. بخش سنگ‌آهک آلوکم‌دار ماسه‌ای داراي آلوکم‌های اكينودرم، تناتاکوليتس و بريوزوئرها در اندازه ماسه متوسط- گرانول و دانه‌ها آواری کوارتز و فلديسپار

<sup>1</sup> Parallel alignment

وجود دارد. مرز زیرین فرسایشی و مشخص<sup>۱</sup> (در بخش‌های ماسه‌ای و آهک ماسه‌ای)، لامیناسیون مورب<sup>۲</sup>، چینه‌بندی مورب پشت‌مای<sup>۳</sup> و لامیناسیون موازی در بخش ماسه‌سنگی دیده شده است (شکل‌های ۶ الف و ب).

اثر فرایند تبلور مجدد، گل‌آهکی تبدیل به میکرواسپار شده است) در برخی برش‌های عرضی و مورب تنتاکولیتس (شکل ۷ ج) دیده می‌شود. هم‌چنین در این بخش، سیمان بلوکی کلسیت بین آلوکم‌ها (شکل ۷ ب)



شکل ۷. الف) صفت‌بندی موازی قطعات بیوکلاستی (اکینودرم و تنتاکولیتس) (به بخش زیرین شکل توجه شود) و دانه‌ها نیمه‌زاویدار-نیمه‌گردشده کوارتز در بخش آهک‌ماسه‌ای رخساره میانی، ppl. ب) سیمان‌های بلوکی کلسیت میان قطعات بیوکلاستی (تنتاکولیتس)، ppl. ج- قطعات بیوکلاستی (اکینودرم و تنتاکولیتس)، دانه‌ها کوارتز نیمه‌گردشده و فابریک ژوپیتال (گل‌آهکی تبلور یافته و دانه‌ها آواری کوارتز در بخش زیرین و کلسیت بلوکی در بخش بالای تنتاکولیتس) در بخش آهک‌ماسه‌ای رخساره گفتن شده، xpl.

نوریختی<sup>۴</sup> را تحمل نموده‌اند (شکل ۸ الف). سیل دلیریتی به موازات چینه‌بندی لایه‌های رسوبی تزریق شده است. بخش دلیریتی شدیداً دگرسان شده از کانی‌های پلازیوکلاز، کلینوپیروکسن و کلسیت تشکیل شده است (شکل ۸ ج). ابعاد دانه‌ها ریز تا متوسط است. پلازیوکلازها به شدت دگرسان شده‌اند ولی بخش‌های سالمی از آن‌ها همچنان باقی مانده است. هیچ نشانه‌ای از کانی سالم کلینوپیروکسن وجود ندارد و صرف‌اً قالبی از آن‌ها باقی مانده است. قالب کلینوپیروکسن‌ها بطور مشخص توسط اکسیدهای آهن اشغال شده است که نشان‌دهنده این

#### مجموعه رخساره سنگ‌آهک ماسه‌ای همراه با توده نفوذی آذرین و شیل‌سیلیتی

این مجموعه رخساره از سنگ‌آهک‌ماسه‌ای (سنگ‌آهک آلوکم‌دار ماسه‌ای) کرمرنگ (۳ متر ستبر)، سیل دیابازی (دلریت) (۱ متر ستبر) و شیل‌سیلیتی متوسط لایه (۳ تا ۵ متر ستبر) تشکیل شده است. بخش سنگ‌آهک آلوکم‌دار ماسه‌ای دارای آلوکم‌های اکینودرم و تنتاکولیتس در اندازه ماسه ریز-گرانول و دانه‌ها آواری کوارتز نیمه‌گردشده- نیمه‌زاویدار (بیشتر نیمه‌گردشده) در اندازه سیلت درشت- ماسه ریز می‌باشد (شکل‌های ۸ الف و ب). این بخش از مجموعه همانندی بسیار زیادی با بخش سنگ‌آهک‌ماسه‌ای رخساره میانی دارد. ساختمان میکروسکوپی صد برشی از تنتاکولیتس‌ها فرایند

<sup>1</sup> Well-defined and erosional (truncation) lower boundary

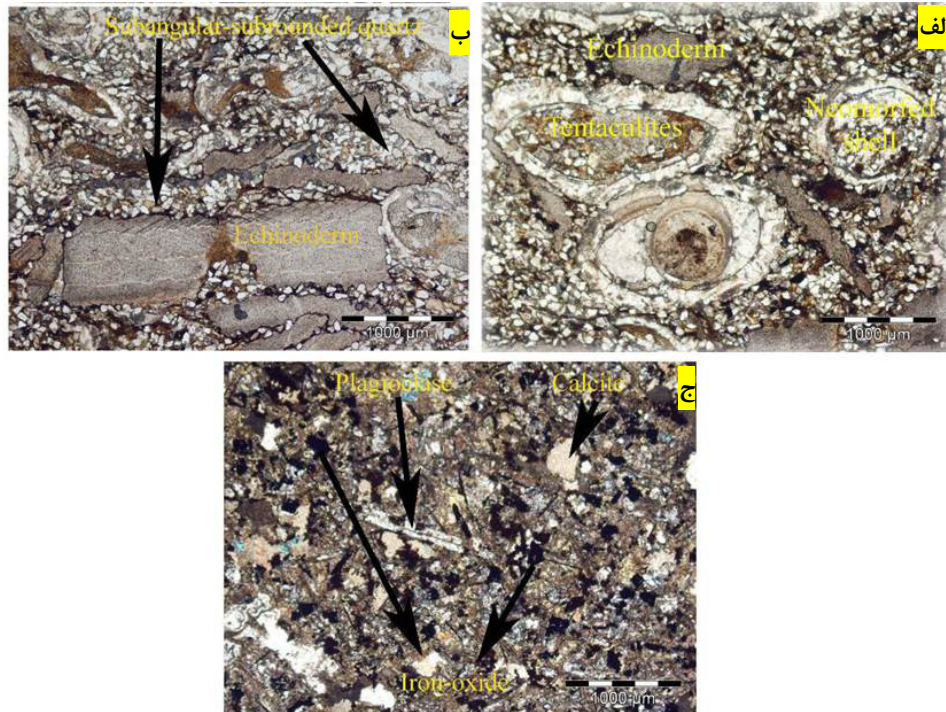
<sup>2</sup> Ripple cross lamination

<sup>3</sup> Hummocky cross stratification

<sup>4</sup> Neomorphism

در برگیرنده آن (رسوبات بالایی و زیرین سیل) دیده نشده است. لام به گفتن است که در این رخساره هیچ‌گونه ساخت رسوبی دیده نشده است.

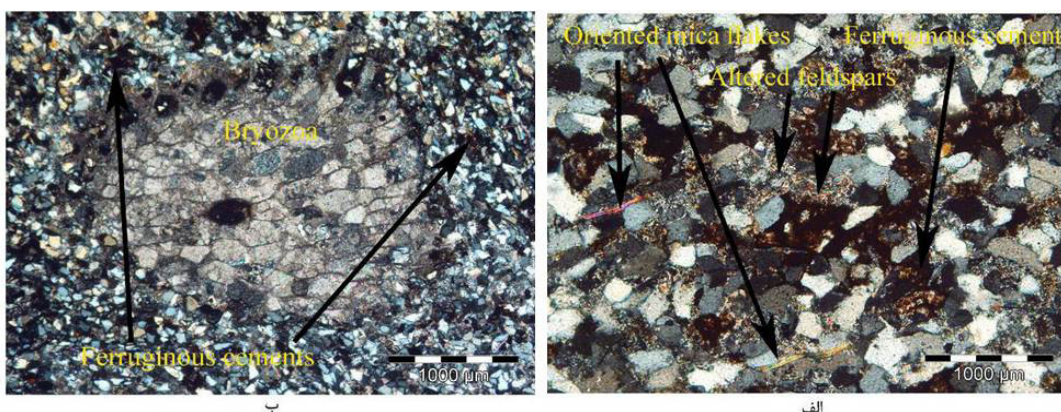
موضوع است که این کانی ثانویه غالباً محصول دگرسانی کلینوپیروکسن است. همچنین به علت شدت دگرسانی، بخش زیادی از کلسیت موجود حاصل جانشینی است (شکل ۸ ج). آثار پختگی یا تبلور مجدد واضح در رسوبات



شکل ۸. (الف) قطعات بیوکلاستی (اکینودرم و تنتاکولیتس) در رخساره آهک ماسه‌ای، ppl. پوسته تنتاکولیتس‌ها، نوریختی را تحمل نموده‌اند. (ب) دانه‌ها کوارتز نیمه‌گردشده- نیمه‌زاویه‌دار و قطعات سالم و شکسته‌شده اکینودرم در سنگ آهک آلوکم‌دار ماسه‌ای، ppl. (ج) دلربیت (دیاباز) دگرسان شده با بافت اینترگرانولار که کانی‌های سازنده آن شامل پلازیوکلاز، قالب کلینوپیروکسن‌های جانشینی شده توسط اکسید آهن و کلسیت جانشینی (به علت دگرسانی شدید) است، ppl.

دیده شد (شکل ۹ الف). همچنین در این مجموعه برخلاف دو مجموعه رخساره زیرین و میانی، نسبت ماسه‌سنگ به شیل افزایش یافته است. بخش سنگ آهک‌ماسه‌ای از سنگ آهک آلوکم‌دار ماسه‌ای دارای آلوکم‌های بریوزوا و مقدار بسیار کمتری قطعات برآکیوپودا در اندازه ماسه‌بزرگ-گرانول، دانه‌ها آواری کوارتز در اندازه ماسه‌ریز با جورشدگی خوب و عمدتاً نیمه‌زاویه‌دار ساخته شده است (شکل ۹ ب). همچنین بلورهای میکا و سیمان آهن‌دار در این بخش دیده شد (شکل ۹ الف). در بخش شیلی این رخساره مانند دو رخساره پیشین آثاری از زیست‌آشفتگی دیده نشد. لای‌سنگ لامینه‌ای در برگیرنده تناب نوارهای روشن دارای دانه‌ها در اندازه سیلت- ماسه بسیار ریز و نوارهای تیره دارای دانه‌ها در اندازه رس است.

مجموعه رخساره ماسه‌سنگ متوسط تا نازک‌لایه سنگ آهک ماسه‌ای- لای سنگ لامینه‌ای و شیل‌های نازک‌لایه (رخساره بالایی) این مجموعه رخساره از تناب ماسه‌سنگ متوسط تا نازک‌لایه کرم- خاکستری رنگ (۸-۳ متر ستبر)، سنگ آهک آلوکم‌دار ماسه‌ای (۲/۵ تا ۲ متر ستبر)، لای سنگ لامینه‌ای (۲ تا ۳ متر ستبر) و شیل‌های نازک‌لایه (۱/۵ تا ۱ متر ستبر) تشکیل شده است. بخش ماسه‌سنگی از آرکوزهای با فلدسپارهای غالباً دگرسان شده، جورشدگی متوسط- خوب، دانه‌ها نیمه‌زاویه‌دار- نیمه‌گردشده در اندازه ماسه‌ریز- متوسط تشکیل شده است (شکل ۹ الف). این ماسه‌سنگ‌ها دارای سیمان‌های سیلیسی رورشی هم‌محور و آهن‌دار هستند. آثار سوگیری در بلورهای میکای موجود در این رخساره



شکل ۹. الف) آرکوز از رخساره بالایی، xpl. به فلدسپارهای دگرسان شده، صفحات میکائی جهت یافته ناشی از فشار و سیمان آهن‌دار توجه شود. ب) سنگ‌آهک آلومینیم‌دار ماسه‌ای از رخساره بالایی، xpl. به سیمان‌های آهن‌دار و پوسته بریوزوآ توجه شود.

شناسی، پارامترهای دیگری مانند تغییرپذیری<sup>۹</sup> (نسبت خردۀ گیاهی‌های قهوهای به تیره)، نسبت مواد آلی به ریخت روشن<sup>۱۰</sup> به مواد آلی به ریخت تیره<sup>۱۱</sup>، نسبت ریخت گردها به مواد آلی به ریخت و گردش‌گی حاشیه‌های خردۀ گیاهی‌ها مدنظر قرار گیرد (هوک، ۱۹۹۱؛ جانسونیوس و مک‌گرگور، ۲۰۰۲). رخساره‌های گرده شناسی شناسایی شده در سازند قلی شامل رخساره گرده شناسی<sup>۱۲</sup> (دارای ۵۰ تا ۹۰ درصد خردۀ گیاهی، ۱۰ تا ۵۰ درصد ریخت گرده و صفر تا ۳۰ درصد مواد آلی به ریخت با فراوانی خردۀ گیاهی‌های تیره)، رخساره گرده‌شناسی<sup>۱۳</sup> (دارای ۴۰ تا ۹۵ درصد خردۀ گیاهی تیره، ۶۵ تا ۹۰ ریخت‌گرده دریابی و ۵ تا ۶۰ درصد درصد مواد آلی به ریخت با فراوانی خردۀ گیاهی‌های تیره و افزایش خردۀ گیاهی‌های قهوهای)، رخساره گرده شناسی<sup>۱۴</sup> (صفر تا ۵۰ درصد خردۀ گیاهی، صفر تا ۳۵ درصد مواد آلی به ریخت و ۵۰ تا ۱۰۰ درصد ریخت‌گرده دریابی با افزایش ریخت‌گردها نسبت به خردۀ گیاهی‌ها) و رخساره گرده شناسی<sup>۱۵</sup> (۴۰ تا ۶۵ درصد خردۀ گیاهی، ۳۵ تا ۶۰ درصد مواد آلی به ریخت و ۳۰ تا ۶۵ درصد ریخت گرده دریابی با فراوانی خردۀ گیاهی‌های از نوع هم‌بعد و دارای حاشیه‌های گردشده و افزایش مواد آلی به ریخت نسبت به رخساره‌های پیشین) هستند (شکل‌های ۱۲ و ۱۳).

این مجموعه از دانه‌ها کوارتز نیمه‌زاویدار-زاویدار دارای جورشدگی خوب و صفحات میکا و سریسیت تشکیل شده است. در این لایی سنگ‌ها، ساختهای رسوبی کوچک‌مقیاس<sup>۱</sup> (مانند دانه‌بندی تدریجی ریزشونده رو به بالا<sup>۲</sup>، لامیناسیون مسطح کم تا بسیار کم شیبدار<sup>۳</sup>) (شکل‌های ۱۰ الف و ب) و بزرگ‌مقیاس<sup>۴</sup> (لایه‌بندی مورب مسطح از نوع تابولار<sup>۵</sup> (شکل ۱۰ ج) دیده شد. همچنین آثار سوگیری صفحات میکا در این سنگ‌ها دیده شد (شکل ۱۰ د).

همچنین در بخش ماسه‌سنگی این مجموعه رخساره ساختهای رسوبی مانند چینه‌بندی مورب تقری<sup>۶</sup> (شکل ۱۱ الف)، ریپل موجی<sup>۷</sup> (شکل‌های ۱۱ الف و ب)، لامیناسیون موازی و لامیناسیون مورب مسطح (لامیناسیون مورب تابولار و گوهای شکل<sup>۸</sup>) (شکل ۱۱ ج) دیده شده است.

### رخساره‌های گرده‌شناسی

پس از شناسایی درصد عناصر گرده شناسی (مواد آلی به ریخت، ریخت گرده‌های دریابی و خردۀ گیاهی‌ها) نتایج حاصل در نمودار سه‌گانه تایسون (۱۹۹۵) ترسیم و رخساره‌های گرده شناسی شناسایی شدند. نیاز به گفتن است که برای تفسیر درست محیط‌رسوبی با بهره‌گیری از داده‌های گرده شناسی بایستی افزون بر رخساره‌های گرده

<sup>۹</sup> Lability

<sup>۱۰</sup> Transparent AOM

<sup>۱۱</sup> Opaque AOM

<sup>۱۲</sup> Heterolithic oxic shelf: proximal shelf

<sup>۱۳</sup> Shelf to basin transition

<sup>۱۴</sup> Mud dominated oxic shelf: proximal shelf

<sup>۱۵</sup> Distal dysoxic-anoxic shelf

<sup>۱</sup> Small-scale sedimentary structures

<sup>۲</sup> Fining-upward grading

<sup>۳</sup> Faint flat to very gently inclined lamination

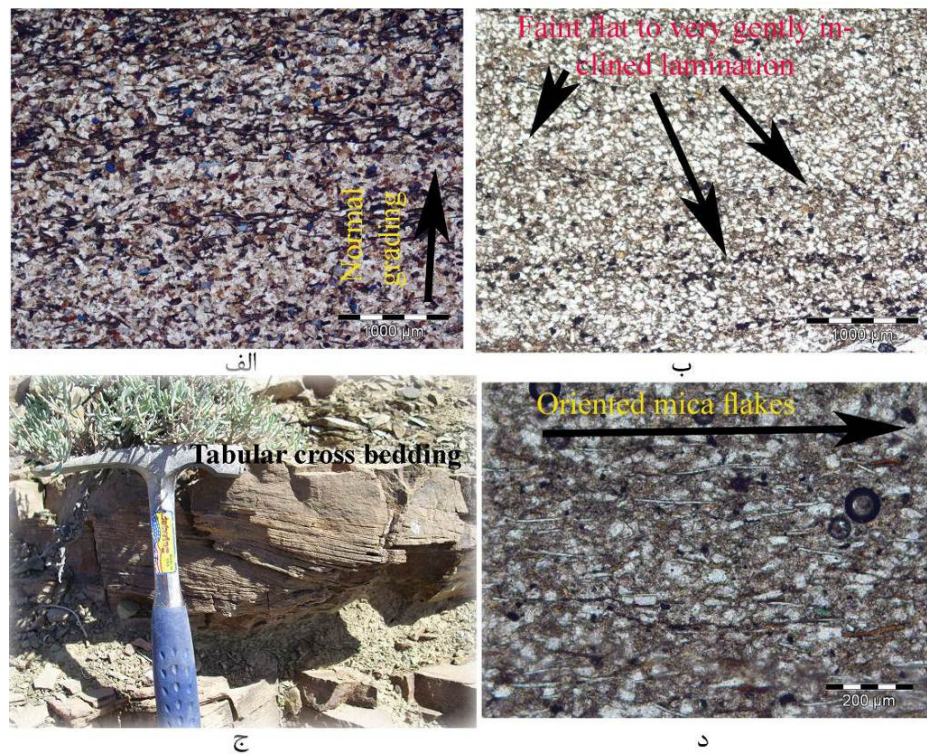
<sup>۴</sup> Large-scale

<sup>۵</sup> Tabular

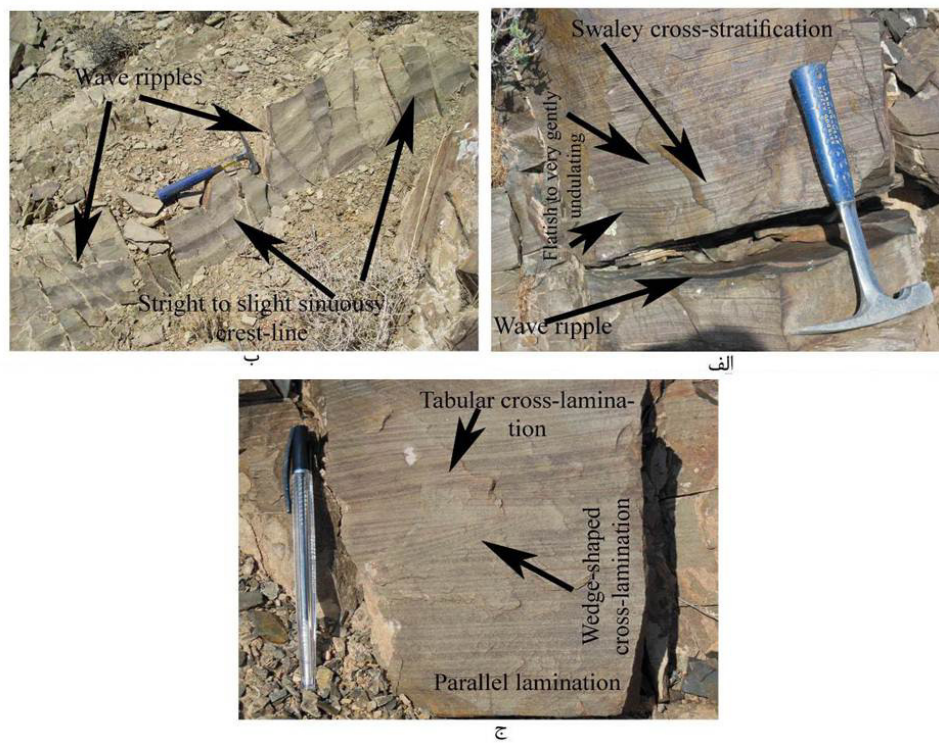
<sup>۶</sup> Swaley cross stratification

<sup>۷</sup> Wave ripple

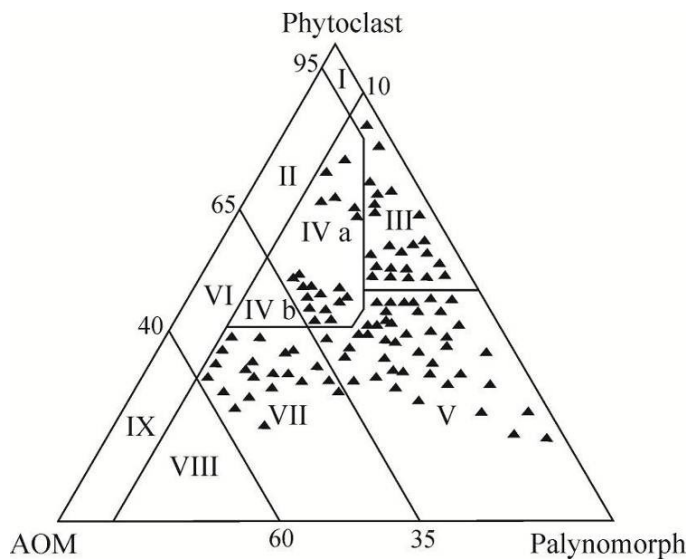
<sup>۸</sup> Wedge-shaped and tabular cross-lamination



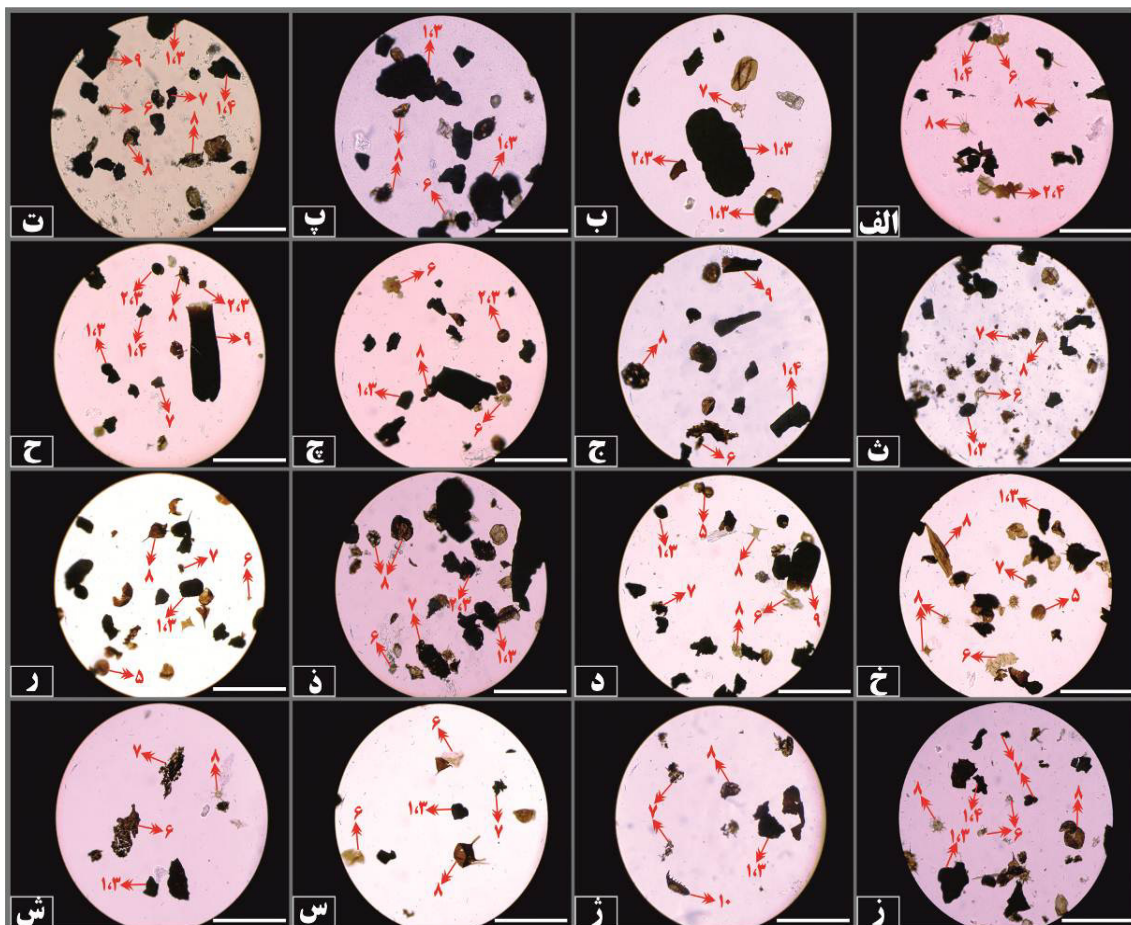
شکل ۱۰. لای سنگ‌های لامینه‌ای رخساره بالابی. (الف) دانه‌بندی تدریجی عادی (ریزشونده به سمت بالا)، **.xpl**. نوارهای روشن از دانه‌ها در اندازه ماسه ریز-سیلت و نوارهای تیره از دانه‌ها در اندازه رس ساخته شده است. (ب) لامیناسیون مسطح کم تا بسیار کم شیبدار، **.ppl**. (ج) لایه‌بندی مورب مسطح از نوع تابولار. (د) سوگیری صفحات میکا، **.ppl**



شکل ۱۱. ساختهای رسوبی موجود در بخش ماسه‌سنگی رخساره بالابی. (الف) ریپل‌موجی و چینه‌بندی مورب تقعری. به لامیناسیون‌های مسطح تا کمی موجدار توجه شود. (ب) ریپل‌های موجی با خط‌الراس‌های مستقیم تا کمی سینوسی. (ج) لامیناسیون موازی و لامیناسیون‌های مورب تابولار و گوهای شکل در بخش بالابی این رخساره.



شکل ۱۲. نمودار تایسون (۱۹۹۵) و محل قرارگیری نمونه‌های سازند قلی در محدوده رخساره‌های گرده شناسی (مثلثهای مشکی)



شکل ۱۳. تصاویر رخساره‌های گرده شناسی سازند قلی در ناحیه رباط قره‌بیل، تصاویر الف تا ت: رخساره III، تصاویر ث تا ح: رخساره IVa، تصاویر خ تا ر: رخساره VII و تصاویر ز تا ش: رخساره VII، شماره ۱: خرد گیاهی تیره، ۲: خرد گیاهی قهوهای، ۳: خرد گیاهی هم بعد، ۴: خرد گیاهی تیغه‌ای، ۱۳: خرد گیاهی تیره هم بعد، ۱۴: خرد گیاهی تیره تیغه‌ای، ۲، ۳: خرد گیاهی قهوهای هم بعد، ۲، ۴: خرد گیاهی قهوهای تیغه‌ای، ۵: اسپور، ۶: مواد آلی بی‌ریخت شفاف، ۷: مواد آلی بی‌ریخت تیره، ۸: آکریتارک، ۹: کیتینوزوا و ۱۰: اسکلوكودونت. مقیاس خطی برابر با ۲۰۰ میکرون است.

نسبت ریخت‌گرده‌ها به مواد آلی بی ریخت را مدنظر قرار داد.

### بحث

بر پایه برداشت‌های میدانی، سنگ‌شناسی، بررسی رخساره‌ها، ساخت‌های رسوبی (جدول ۱) و بررسی گرده‌شناسی (رخساره‌ها و عناصر گرده‌شناسی)، محیط رسوب‌گذاری و مدل رسوبی سازند قلی در رباط قره‌بیل ارائه شده است.

### محیط‌رسوبی بر پایه شواهد سنگ‌شناسی، مجموعه رخساره‌های سنگی و ساخت‌های رسوبی

با توجه به مجموعه رخساره‌ها و به ویژه ساخت‌های رسوبی دیده شده، سازند قلی در یک شلف زیر تاثیر توفان و امواج<sup>۱</sup> نهشته شده است (شکل‌های ۱۴ و ۱۵). ستبرای، ژئومتری، ترکیب و چینه‌بندی لایه‌های ماسه‌ای توفانی دریایی کم‌زرفا بستگی به شرایط محلی به ویژه بزرگی و زمان تداوم توفان، نزدیکی یا دوری به ناحیه منشا رسوبات و جایگاه نسبی در امتداد مسیر انتقال توفان<sup>۲</sup> دارد (ردینگ، ۱۹۹۶؛ والکر و پلینت، ۱۹۹۲). رخساره‌های زیرین (مجموعه رخساره شیل میکادر و ماسه‌سنگ نازک‌لایه) و میانی (مجموعه رخساره شیل میکادر- ماسه‌سنگ نازک‌لایه سرخ رنگ و سنگ‌آهک ماسه‌ای) در پهنه ساحلی زیرین<sup>۳</sup> در بین قاعده موج در شرایط توفانی<sup>۴</sup> و قاعده موج در شرایط آرام<sup>۵</sup> بر جای گذاشته شده‌اند. در پهنه ساحلی زیرین دانه‌ها در اندازه ماسه عمده توسط توفان جابجا و در شرایط آرامش نهشته می‌شوند. این موضوع توسط برخی از پژوهش‌گران در نقاط مختلف جهان (مانند جانسون و بالدوین، ۱۹۸۶؛ نومالا، ۱۹۹۱؛ اینسل و سیلاخر، ۱۹۹۱؛ نیکولز، ۲۰۰۹) گزارش شده است. به طور مشخص می‌توان بیان کرد که این دو مجموعه رخساره توسط جریان‌های شدید نهشته شده است. وجود قاعده فرسایشی (شکل ۶ الف)، نسبت بالای شیل به ماسه‌سنگ (شکل ۵ الف)، ساخت‌های چینه‌بندی مورب پشت‌های (شکل ۶ ب)، لامیناسیون مورب و لامیناسیون موازی (شکل ۶ الف)، وجود قطعات

### پارامترهای حفاظت از مواد آلی

خرده‌های گیاهی از خشکی منشاء می‌گیرند و با دور شدن از ساحل از فراوانی کلی آن‌ها کاسته می‌شود و به دو دسته قهوه‌ای و تیره تقسیم می‌شوند. خرده گیاهی‌های با منشا خشکی بیشتر قهوه‌ای، زرد و به طور کلی روشن هستند اما با قرارگیری بیشتر در ستون آب، اکسیژن محیط و افزایش فاصله از ساحل به آرامی اکسید و سیاه می‌گردد و به خرده گیاهی‌های تیره تبدیل می‌شوند (کورتینات و همکاران، ۲۰۰۳؛ العطفی و همکاران، ۲۰۱۶). نسبت خرده گیاهی‌های قهوه‌ای به تیره را پارامتر تغییرپذیری می‌نامند. این پارامتر می‌تواند تا اندازه‌ای معرف تغییرات سطح آب باشد. بر این پایه با نزدیک شدن به ساحل بر میزان پارامتر تغییرپذیری افزوده و با فاصله گرفتن از ساحل به سمت دریا از مقنار آن کاسته می‌شود (تايسون، ۱۹۹۵). در هنگام بهره‌گیری از پارامتر تغییرپذیری بايستی نتایج حاصل از آن را با سایر متغیرهای گرده‌شناسی مقایسه نمود، زیرا ممکن است تیرگی رنگ خرده گیاهی‌ها مربوط به ژرفای تدفین زیاد و بلوغ گرمایی مواد آلی در طی زمان زمین‌شناسی باشد. همچنین این احتمال وجود دارد که خرده گیاهی‌ها در اثر ترابری دوباره از رسوبات پیتری یا جوان‌تر به حوضه رسوبی منتقل شده باشند (کورتینات و همکاران، ۲۰۰۳؛ میشرا و سینگ، ۲۰۱۸). با توجه به شدت تغییرات در اسلامیدهای گرده‌شناسی و بررسی لایه‌های بالایی و زیرین از لایه مورد نظر می‌توان تا اندازه‌ای احتمال خطأ را کاهش داد. از آنجایی که پارامتر تغییرپذیری در واقع نشان‌دهنده میزان حفظ‌شده مواد آلی است، برای تائید نتایج حاصل می‌توان هم‌زمان به میزان ریخت خرده‌های دریایی و مواد آلی بی ریخت توجه کرد. چنانچه افزایش پارامتر تغییرپذیری با افزایش فراوانی و تنوع ریخت‌گرده‌های دریایی و کاهش میزان مواد آلی بی ریخت همراه باشد، نشان‌دهنده حفظ‌شده‌ی بالای مواد آلی است (پاریس و همکاران، ۲۰۱۲). حفظ‌شده‌ی بالای مواد آلی می‌تواند به دو صورت تفسیر شود: ۱- شدت رسوب‌گذاری بالا و تاثیر کم‌تر اکسیژن بر مواد آلی و ۲- شدت رسوب‌گذاری کم‌تر در یک محیط کم اکسیژن تا احیایی (وندرزان، ۱۹۹۰). برای پی بردن به شدت رسوب‌گذاری بايستی سایر پارامترهای گرده‌شناسی مانند

<sup>1</sup> Storm and wave dominated shelf

<sup>2</sup> Storm transport path

<sup>3</sup> Lower shoreface

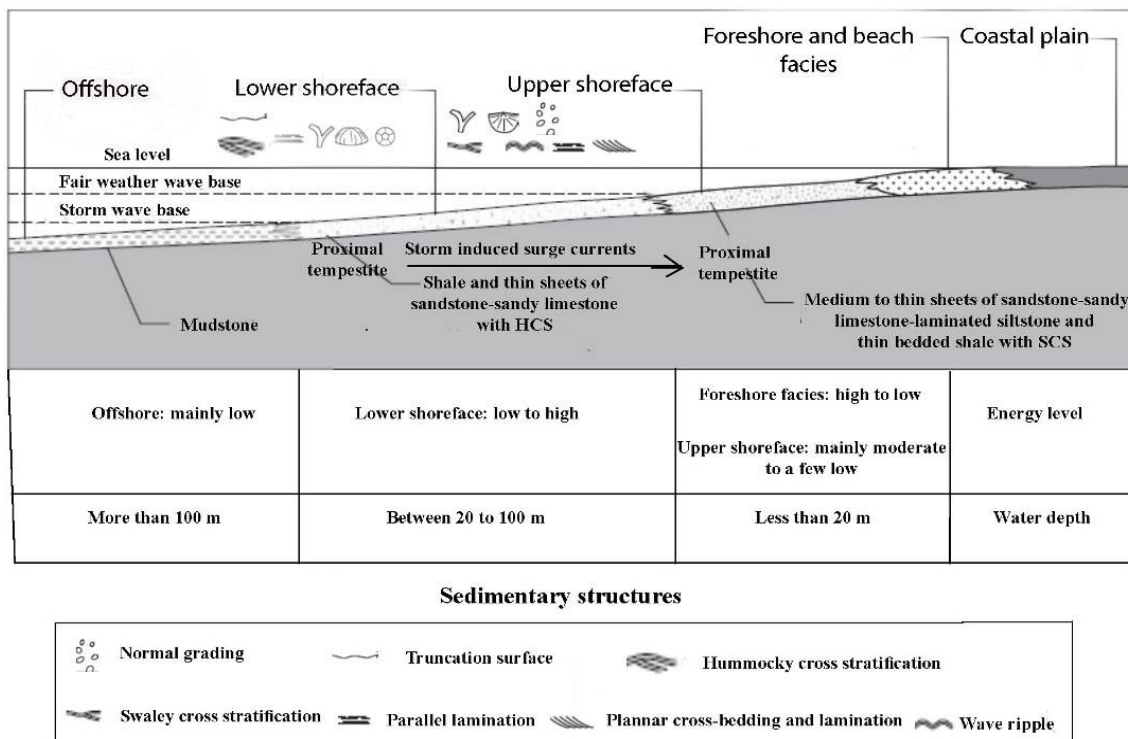
<sup>4</sup> Storm wave base

<sup>5</sup> Fair weather wave base

برجای مانده زیرین از نوع خردمنگ، قطعات گلی و خردمنهای گیاهی، چینه‌بندی مورب پشت‌های و تقری، لامیناسیون موازی، ریپل مارک موجی، لامیناسیون مورب و افق‌های داری لوله‌های زیستی<sup>۱</sup> و لایه‌های گل نشان‌دهنده رخساره‌های توفانی نزدیک به منشا هستند (اینسل و سیلاخر، ۱۹۹۱؛ والکر و پلینت، ۱۹۹۲؛ ریدینگ، ۱۹۹۶؛ نیکولز، ۲۰۰۹). برخی از این ویژگی‌ها مانند چینه‌بندی مورب پشت‌های و تقری، قاعده فرسایشی، ریپل مارک موجی و لامیناسیون مورب در منطقه مورد بررسی دیده شد.

سالم و شکسته شده فسیل‌های خاص دریای باز مانند اکینودرم، برویزوآ و تنتاکولیتس (شکل‌های ۷ ب و ج) و صفت‌بندی موازی قطعات بیوکلاستی (شکل ۷ ب) نشان‌دهنده نابر جا بودن این مجموعه رخساره‌ها و ترابری آن توسط توفان می‌باشد. نهشته‌های توفانی<sup>۲</sup> با ساخته‌های رسوبی و ویژگی‌های خاص خود در سازند قلی در منطقه یافت شده‌اند. قاعده فرسایشی، چینه‌بندی مورب پشت‌های، لامیناسیون موازی، لامیناسیون مورب و صفت‌بندی قطعات بیوکلاستی از ویژگی‌های رسوبات توفانی هستند (جدول ۲). قاعده فرسایشی، رسوبات

### Storm and wave dominated shelf

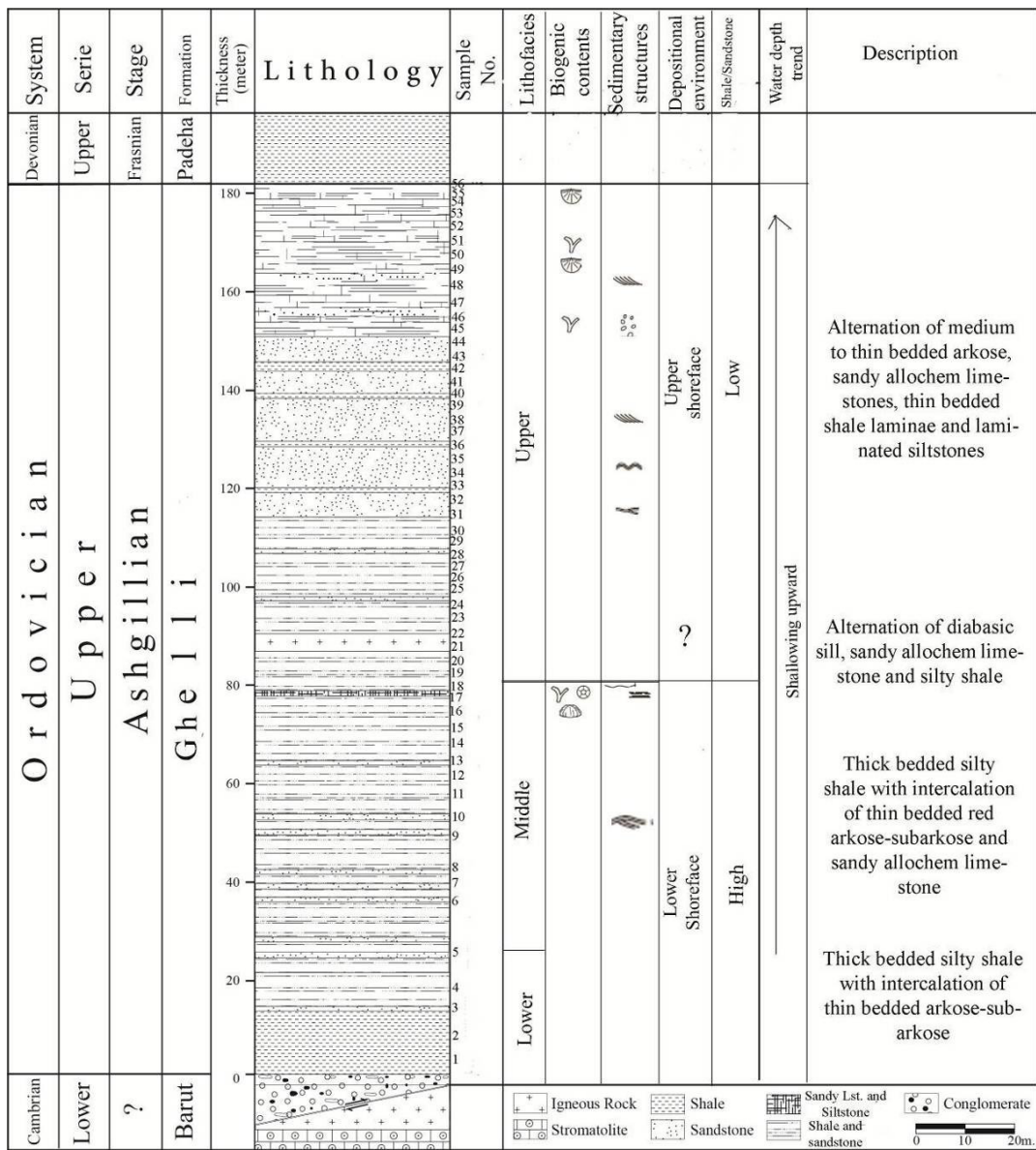


شکل ۱۴. مدل محیط رسوبی سازند قلی (شلف تحت تاثیر امواج و توفان). رسوبات سازند قلی (رسوبات توفانی نزدیک به منشا) در پهنه‌های ساحلی زیرین و بالای نهشته شده‌اند. لازم به گفتن است که محیط‌های دور از ساحل، بخش جلویی ساحل و دشت ساحلی جهت تکامل محیط‌رسوبی به سوی دریا و خشکی ارائه شده است و دسترسی با محیط رسوب‌گذاری سازند مورد مطالعه ندارد. ژرفای آب بر پایه منابع گوناگون (جانسون و بالدوین، ۱۹۸۶؛ نومال، ۱۹۹۱؛ سیلاخر و ایگنر، ۱۹۹۲؛ والکر و پلینت، ۱۹۹۱؛ ریدینگ، ۱۹۹۶؛ نیکولز، ۲۰۰۹) برآورد شده است. سطح انرژی بر پایه سنگ‌شناسی، ساخته‌های رسوبی و برخی منابع (سیلاخر و ایگنر، ۱۹۹۱؛ نیکولز، ۲۰۰۹) محاسبه شده است.

<sup>1</sup> Tempestites

<sup>2</sup> Burrow

<sup>3</sup> Proximal tempestites



شکل ۱۵. ستون چینه‌شناسی همراه با تفکیک محیط‌رسوبی سازند قلی در ناحیه ریاط قره‌بیل. توالی رسوبر این سازند نشان‌دهنده یک روند کمرزراشونده به سمت بالا است. لازم به گفتن است که نمادهای بکار رفته در مورد محتوی زیستی و ساختهای رسوبری در شکل ۱۴ تعریف شده است. مرز زیرین سازند قلی با سازند باروت در این ستون به صورت شماتیک به تصویر کشیده شده است و مرز حقيقی آن‌ها در منطقه مورد مطالعه از نوع گسله است.

ایجاد نمی‌شوند و فقط در شلف‌های زیر تاثیر طوفان پنهان ساحلی زیرین؛ زیر قاعده موج در شرایط آرام) ایجاد می‌شوند (جانسون و بالدوین، ۱۹۸۶؛ نیکولز، ۲۰۰۹). به طور کلی کارکرد توفان در سه مرحله بر ناحیه مورد اثربخشی انجام می‌شود (جانسون و بالدوین، ۱۹۸۶؛ والکر و پلینت، ۱۹۹۲): ۱- مرحله فرسایش توفان<sup>۳</sup> که سبب ایجاد سطح فرسایشی زیرین<sup>۱</sup> (مسطح تا موج دار<sup>۲</sup>)،

در جدول ۲ ویژگی‌های رسوب‌شناختی نهشته‌های توفانی سازند قلی گفتن شده است. در واقع، جریان‌های قوی سبب فرسایش بخش‌های کم‌زرفای شلف می‌شوند. ساخت چینه‌بندی مورب پشت‌های در رسوبات پهنه ساحلی بالایی<sup>۱</sup> (بالای قاعده موج در شرایط آرام) در نتیجه چاچایی، رسوبات در اثر فرایندهای امواج عادی<sup>۲</sup>

3 Storm erosion

1 Upper shoreface

<sup>2</sup> Upper shoreface  
<sup>2</sup> Ordinary wave processes

می‌شود و نشان‌دهنده کارکرد جریان‌های نوسانی و رژیم جریانی پایین<sup>۵</sup> است. ۴- مرحله رسوب‌گذاری گل پس از توفان که منعکس‌کننده رسوب مواد معلق از رسوبات ناشی از توفان (مانند گل‌های پس از توفان) یا بازگشت به شرایط عادی رسوب‌گذاری است.

علاوه بر سطح زیرین لایه و اینتراکلسست‌های پبلی و گل‌سنگی می‌شود. ۲- مرحله رسوب‌گذاری اصلی توفانی<sup>۳</sup> که شامل ایجاد چینه‌بندی مورب پشت‌های، لامیناسیون مورب و لامیناسیون موازی است. ۳- مرحله کاهش رسوب‌گذاری توفانی<sup>۴</sup> که سبب ایجاد لایه‌های ماسه‌ای دارای ریپل موجی و به ندرت لامیناسیون مورب جریانی

جدول ۱. ویژگی‌های سنگ‌شناسی و محیط‌رسوبی سازند قلی (رخساره‌ها به ترتیب از پایین به بالا)

رخساره	سنگ‌شناسی	اجزای عمدۀ سازند	نسبت شیل/ماسه‌سنگ	شکل هندسی	ساخت‌های رسوبی
رخساره بالایی	آرکوز، شیل، سنگ آهک آلوکم‌دار ماسه‌ای، لای سنگ	فلدسپارهای غالباً دگرسان شده و کوارتزهای عمده تک‌بلوری در بخش ماسه‌سنگی، آلوکم‌های بروزوآ و براکیوپودا در بخش آهک ماسه‌ای، کوارتز نیمه‌زاویدار-زاویدار و صفات‌میکا و سریسیت در بخش لای سنگی	کم	ماسه‌سنگ‌ها، لای سنگ‌ها و سنگ آهک‌های ماسه‌ای ورقای	در بخش لای سنگی دانه‌بندی تدریجی نرمال، لامیناسیون مسطوح ضعیف تا بسیار کم شبیدار و لایبندی مورب تابولار، در بخش ماسه‌سنگی چینه‌بندی تغیری، ریپل موجی، لامیناسیون‌های موازی و مورب تابولار و گوهای شکل (در بخش بالایی رخساره)
سنگ آهک ماسه‌ای همراه با توده نفوذی آذرین و شیل	سنگ آهک آلوکم-دار ماسه‌ای، دلریت (دیاباز)	الوکم‌های اکینودرم و تنتاکولیتس و کوارتز عمده‌تر نیمه‌گرد شده در بخش آهک ماسه‌ای، پلازیوکلائز، کلسیت و قالب‌های کلینتوپیروکسن پرشده از اکسیدهای آهن	-	سنگ‌آهک‌ماسه‌ای توده‌ای، سیل دیابازی	بدون ساخت رسوبی
رخساره میانی	آرکوز- ساب آرکوز، سنگ‌آهک آلوکم‌دار ماسه‌ای، شیل سیلتی میکادر	در بخش ماسه‌سنگی کوارتز تک بلوری- چندبلوری، فلدسپارهای غالباً دگرسان شده، در بخش آهک ماسه‌ای آلوکم‌های اکینودرم، تنتاکولیتس و بروزوآ	زیاد	ماسه‌سنگ‌ها و سنگ‌آهک‌های ماسه‌ای ورقه‌ای با قاعده فرسایشی و مشخص	مرز فرسایشی در بخش‌های ماسه‌ای و آهک‌ماسه‌ای، لامیناسیون مورب، چینه‌بندی مورب پشت‌های و لامیناسیون موازی در بخش ماسه‌سنگی
رخساره زیرین	ساب آرکوز- آرکوز، شیل سیلتی میکادر	فلدسپارهای غالباً دگرسان شده، کوارتزهای تک‌بلوری، چندبلوری در بخش ماسه‌سنگی	زیاد	ماسه‌سنگ‌ها و سنگ‌آهک‌های ماسه‌ای ورقای	بدون ساخت رسوبی

سبب جابجایی مجدد رسوبات حتی گاهی در مناطق ژرف‌تر شلف (شلف خارجی)<sup>۶</sup> می‌گردد (نیکولز، ۲۰۰۹). اما در توالی رسوبی تحت تاثیر توفان و امواج سازند قلی، هیچ‌گونه زیست‌آشفتگی در لایه‌های شیلی دیده نشده است. احتمالاً علت این موضوع نبود موجودات زیست‌آشفته‌کننده (موجودات کفزی مانند نرم‌تنان، استراکودا و فرامینیفرهای کفزی) با توجه به سن سازند در منطقه مورد مطالعه است (به استثنای دیده اکینودرم در بخشی از رخساره میانی سازند قلی). در واقع، نبود زیست‌آشفتگی سبب حفظ‌شدگی کامل ساخت‌های رسوبی و توالی آرمانی رسوبات توفانی در سازند قلی شده است. لازم به گفتن است که وجود زیست‌آشفتگی شدید

وجود شیل در رخساره‌های زیرین، میانی و بالایی نشان‌دهنده زمان‌های بین دو رویداد توفان و یا مرحله رسوب‌گذاری گل پس از توفان در سازند قلی می‌باشد. به طور کلی نهشته‌های توفانی بوسیله لایه‌های گلی (شیلی) از یکدیگر جدا می‌شوند (جز در مواردی که لایه‌های گلی توسط توفان بعدی فرسوده شوند) (نیکولز، ۲۰۰۹). معمولاً لایه‌های شیلی در رسوبات توفانی دارای زیست‌آشفتگی هستند (نیکولز، ۲۰۰۹؛ ریدینگ، ۱۹۹۶).<sup>۷</sup> در زمان‌های بین دو رویداد توفان، موجودات کفزی

<sup>1</sup> Basal erosion surface<sup>2</sup> Flat to undulatory<sup>3</sup> Main storm deposition<sup>4</sup> Waning storm deposition<sup>5</sup> Lower flow regime<sup>6</sup> Storm events<sup>7</sup> Benthonic organisms

آهک ماسه‌ای احتمالاً نشان‌دهنده دو مرحله فرسایش و رسوب‌گذاری اصلی توفانی و رویداد توفان بعدی در این بخش از توالی است. البته لازم به گفتن است که وجود رخساره سنگ‌آهک ماسه‌ای می‌تواند در اثر کاهش ورود رسوبات آواری از بالادست همراه با تغییرات اقلیم و دمای آب و ایجاد یک محیط ریف مانند (بریوزوا از موجودات ریفساز اردوپسین است) در شلف باشد. سرانجام، به علت نبود ساختهای رسوبی در مجموعه رخساره سنگ‌آهک ماسه‌ای همراه با توده نفوذی آذرین و شیل سیلیتی شناسایی دقیق محیط رسوبی این رخساره و قرارگیری در پهنه ساحلی بالایی و یا زیرین در این پژوهش امکان‌پذیر نمی‌باشد.

سبب همگن شدن لایه‌های توفانی و از بین رفتن ساختهای رسوبی مرتبط با کارکرد توفان و امواج می‌شود (نیکولز، ۲۰۰۹؛ اینسل و سیلاخر، ۱۹۹۱). وجود دو سطح زیرین فرسایشی متوالی در لایه‌های ماسه‌سنگی و سنگ‌آهک ماسه‌ای رخساره میانی و نبود رسوبات شیلی (شکل ۶ الف) به احتمال نشان‌دهنده رخداد دو رویداد توفان متوالی و فرسایش لایه‌های گلی بین آن‌ها می‌باشد. البته باستی احتمال تاثیر عدم آورد رسوب از مناطق بالادستی و یا ایست رسوب‌گذاری را در تشکیل این سطوح فرسایشی نیز در نظر گرفت. وجود سطح فرسایشی، لامیناسیون مورب و لامیناسیون موازی در بخش ماسه‌سنگی و سطح فرسایشی بعدی در بخش

جدول ۲. ساختهای رسوبی و ویژگی‌های عمده رسوب‌شناسختی نهشت‌های توفانی و مقایسه آن با نهشت‌های توفانی سازند قلی

ساختهای ویژگی‌های رسوب‌شناسختی	منابع	سازند قلی
چینه‌بندی مورب پشت‌های	لی و همکاران، ۲۰۱۷؛ وانگ و همکاران، ۲۰۱۷؛ مایرو، ۲۰۱۶؛ خزانی و همکاران، ۱۳۹۶؛ نیکولز، ۱۳۹۵؛ لیو و همکاران، ۲۰۱۲؛ باسیلیسی و همکاران، ۲۰۱۲؛ واکارلوف و همکاران، ۲۰۱۲؛ نیکولز، ۲۰۰۹؛ چادهوری، ۱۹۹۶؛ ریدینگ، ۲۰۰۵؛ سیلاخر و ایگر، ۱۹۹۱؛ نومال، ۱۹۹۱؛ جانسون و بالدوین، ۱۹۸۶	*
سول‌مارک <sup>۱</sup> (علام سطح زیرین لایه)	نیکولز، ۲۰۰۹؛ ریدینگ، ۱۹۹۶؛ اینسل و سیلاخر، ۱۹۹۱	
چینه‌بندی مورب تقری	باسیلیسی و همکاران، ۲۰۱۲؛ واکارلوف و همکاران، ۲۰۱۲؛ نیکولز، ۲۰۱۰؛ ریدینگ، ۱۹۹۶؛ والکر و پلینت، ۱۹۹۲؛ جانسون و بالدوین، ۱۹۸۶	*
دگرشکلی‌های رسوبات نرم <sup>۲</sup>	ون-لون، ۲۰۰۹؛ محسنی و العاصم، ۲۰۰۴	
مرز فرسایشی	خزانی و همکاران، ۱۳۹۶؛ سوریا و همکاران، ۲۰۱۴؛ لیو و همکاران، ۲۰۱۲؛ گرین و همکاران، ۲۰۱۲؛ نیکولز، ۲۰۰۹؛ چاکرابورتی و همکاران، ۲۰۰۹؛ ریدینگ، ۱۹۹۶؛ والکر و پلینت، ۱۹۹۲؛ سیلاخر و ایگر، ۱۹۹۱	*
جایگاه شلف	سوریا و همکاران، ۲۰۱۴؛ گرین و همکاران، ۲۰۱۲؛ باسیلیسی و همکاران، ۲۰۱۲؛ چاکرابورتی و همکاران، ۲۰۰۹؛ نیکولز، ۲۰۰۹؛ چادهوری، ۲۰۰۵؛ ریدینگ، ۱۹۹۶؛ والکر و پلینت، ۱۹۹۲	*
دانه‌بندی تدریجی عادی	وانگ و همکاران، ۲۰۱۷؛ باسیلیسی و همکاران، ۲۰۱۲؛ لیو و همکاران، ۲۰۱۲؛ نیکولز، ۲۰۰۹؛ محسنی و العاصم، ۲۰۰۴؛ والکر و پلینت، ۱۹۹۲	*
لامیناسیون مورب	چادهوری، ۲۰۰۵؛ محسنی و العاصم، ۲۰۰۴	*
ساختهای فراری <sup>۳</sup>	محسنی و العاصم، ۲۰۰۴	
ریل موجی (متقارن)	وانگ و همکاران، ۲۰۱۷؛ لی و همکاران، ۲۰۱۷؛ لیو و همکاران، ۲۰۱۲؛ نیکولز، ۲۰۰۹؛ چاکرابورتی و همکاران، ۲۰۰۹؛ چادهوری، ۲۰۰۵؛ محسنی و العاصم، ۲۰۰۴؛ والکر و پلینت، ۱۹۹۲؛ جانسون و بالدوین، ۱۹۸۶	*
صفبندی موادی قطعات بیوکلاستی	پوگا و آگوییر، ۲۰۱۷؛ محسنی و العاصم، ۲۰۰۴؛ سیلاخر و ایگر، ۱۹۹۱	*
لامیناسیون موازی	باسیلیسی و همکاران، ۲۰۱۲؛ واکارلوف و همکاران، ۲۰۱۲؛ لیو و همکاران، ۲۰۱۲؛ نیکولز، ۲۰۰۹؛ والکر و پلینت، ۱۹۹۲	*
دانه‌های بر جای‌مانده زیرین <sup>۴</sup>	نیکولز، ۲۰۰۹؛ محسنی و العاصم، ۲۰۰۴؛ ریدینگ، ۱۹۹۶	

<sup>1</sup> Sole mark

<sup>2</sup> Soft sediment deformations

<sup>3</sup> Escape structures

<sup>4</sup> Basal lags

۱۹۹۲) و بخش رسی آن (نوارهای تیره) در اثر جریان‌های کاهشی و یا رسوب‌گذاری پلاژیک بین توفان‌ها (والکر و پلینت، ۱۹۹۲) ایجاد شده است. همراهی لایه‌های ماسه‌سنگی و سنگ‌آهک‌ماسه‌ای (تغییر ترکیب سنگ‌شناسی) (شکل ۶ الف) در نهشته‌های توفانی می‌تواند در نتیجه تغییر میزان موجودات کفازی دارای صدف<sup>۱</sup> (اکینودرم، تنکولیتیس و بریوزوا) در ناحیه فرسایش یافته توسط توفان باشد. با افزایش جانداران کف‌زی دارای صدف، رسوبات توفانی می‌توانند به صورت زوج لایه‌های دارای یک لایه زیرین سرشار از پوسته و یک لایه بالایی ماسه‌ای با لامیناسیون‌های متغیر حفظ شوند. این موضوع در پژوهش‌های پژوهشگرانی مانند (کریسا، ۱۹۸۱؛ هابدی و مورتون، ۱۹۸۴؛ جانسون و بالدوین، ۱۹۸۶) نیز گفته شده است. همچنین، ماسه‌های ورقه‌ای شکل<sup>۲</sup> دارای چینه‌بندی مورب پشتۀ ای همراه با لایه‌های شیلی (رساره میانی سازند قلی) نشان‌دهنده یک محیط دریایی ژرف‌تر انباسته شده<sup>۳</sup> نسبت به ماسه‌های ورقه‌ای شکل دارای چینه‌بندی مورب تقری (رساره بالایی سازند قلی) هستند که نشان‌گر پهنه ساحلی پیش‌روندۀ زیر تاثیر امواج<sup>۴</sup> می‌باشند. این نوع ماسه‌های ورقه‌ای شکل همراه با ساختهای رسوبی یادشده نیز توسط برخی از پژوهشگران در نهشته‌های توفانی گزارش شده‌اند (جانسون و بالدوین، ۱۹۸۶؛ سویفت و همکاران، ۱۹۸۷؛ والکر و پلینت، ۱۹۹۲).

### محیط‌رسوبی بر پایه شواهد گردش‌شناسی (رساره‌ها و عناصر گرده‌شناسی)

بر پایه شکل ۱۲ در سازند قلی چهار رساره گرده‌شناسی شناسایی شده است. رساره III نشان‌دهنده شلف نزدیک به ساحل دارای شرایط اکسیدان است. تیره بودن اغلب خردگیاهی‌ها نشان‌گر بالا بودن میزان اکسیژن محیط و فراوانی نسبی خردگیاهی‌ها و پایین بودن پارامتر تغییرپذیری نسبت به سایر رساره‌ها نشان‌گر کم‌ژرفای بودن این رساره است (شکل‌های ۱۳ الف تا ث). همچنین رساره IVa با نسبت مواد آلی به ریخت روشن به تیره حدود ۱ نشان‌دهنده رسوب‌گذاری در یک

رساره بالایی (مجموعه رساره ماسه‌سنگ متوسط تازک‌لایه- سنگ‌آهک‌ماسه‌ای- لای سنگ لامینه‌ای و شیل‌های نازک‌لایه) در پهنه ساحلی بالایی (بالای قاعده موج در شرایط آرام) نهشته شده است. وجود ماسه‌سنگ‌ها، آهک‌های ماسه‌ای و لای سنگ‌های ورقه‌ای، نسبت شیل/ماسه‌سنگ کم، ساختهای چینه‌بندی مورب تقری (شکل ۱۱ الف)، ریپل‌مارک موجی (شکل‌های ۱۱ الف و ب)، لامیناسیون موازی (شکل ۱۱ ج)، لامیناسیون‌های مورب تابولار و گوهای شکل (شکل ۱۱ ج) در بخش‌های بالایی ماسه‌سنگی، لامیناسیون مسطح و دانه‌بندی تدریجی عادی در بخش لای سنگی این رساره و نبود چینه‌بندی مورب پشتۀ ای همگی نشان‌دهنده نهشته شدن این بخش از توالی در پهنه ساحلی بالایی است. وجود کمتر لایه‌های شیلی نشان‌دهنده محیط رسوبی دارای ژرفای کمتر و محیط با آشفتگی آب بیشتری است. این موضوع توسط دیگر پژوهش‌ها در نقاط مختلف جهان نیز پیشنهاد شده است (نومدال، ۱۹۹۱؛ سیلاخر و ایگنر، ۱۹۹۱؛ جانسون و بالدوین، ۱۹۸۶). به طور کلی رساره بالایی همانند رساره‌های زیرین و میانی نشان‌دهنده رسوبات توفانی نزدیک به منشا هستند که ساختهای رسوبی چینه‌بندی مورب تقری، ریپل موجی، دانه‌بندی تدریجی عادی در بخش‌های زیرین و میانی رساره بالایی و لامیناسیون موازی و لامیناسیون‌های مورب تابولار و گوهای شکل در بخش بالایی این رساره جایگزین ساختهای چینه‌بندی مورب پشتۀ ای و سطح فرسایشی در رساره میانی شده‌اند. وجود ریپل‌های موجی خود نشان‌دهنده کاهش رسوب‌گذاری توفانی، کاهش ژرفای آب، و کارکرد جریان‌های نوسانی است. همچنین وجود لامیناسیون موازی و لامیناسیون‌های مورب تابولار و گوهای شکل در بخش‌های ماسه‌سنگی بالایی این رساره نشان‌دهنده کاهش ژرفای آب، کاهش تاثیر توفان و نزدیکی بیشتر به خشکی نسبت به بخش‌های زیرین رساره مانند رساره‌های پیشین بدون زیست‌آشفتگی است و معکوس‌کننده رسوب‌گذاری گل پس از توفان است. وجود دانه‌بندی تدریجی در لای سنگ‌ها (شکل ۱۰ الف) نشان می‌دهد که بخش سیلیتی (نوارهای روشن) در اثر جریان‌های کاهشی ناشی از توفان (والکر و پلینت،

<sup>1</sup> Shell

<sup>2</sup> Sheet-like

<sup>3</sup> Aggrading deeper marine environment

<sup>4</sup> Prograding wave-dominated shoreface

این مدل و بررسی‌های آماری بر روی ریخت‌گردهای سازند قلی مشخص شده است که ۵۶ درصد کل آکریتارک‌های موجود وابسته به نمونه‌های بدون تزئینات (اجتماعات نزدیک به ساحل)، ۲۴ درصد مربوط به فرم‌های با زوائد کوتاه‌تر از ۵ میکرون (اجتماعات نسبتاً دور از ساحل) و ۲۰ درصد دارای زوائد بلندتر از ۵ میکرون (اجتماعات دورتر از ساحل) بودند (شکل ۱۷). بنابراین می‌توان نتیجه گرفت که احتمالاً نهشته‌های مورد بررسی در یک محیط کم‌زرفای دریایی تهشین شده‌اند. هم‌چنین مقایسه فراوانی نسبی ریخت‌گردهای دریایی به عناصر گرده‌شناسی خشکی (الطفی و همکاران، ۲۰۱۶؛ میشرا و سینگ، ۲۰۱۸) در سازند موردن بررسی (فراوانی کمتر آکریتارک‌ها و کیتینوزواها نسبت به کریپتو سپورها و خردک‌های گیاهی) نشان‌گر تهشین نهشته‌های سازند قلی در محیط دریایی کم‌زرفا می‌باشد.

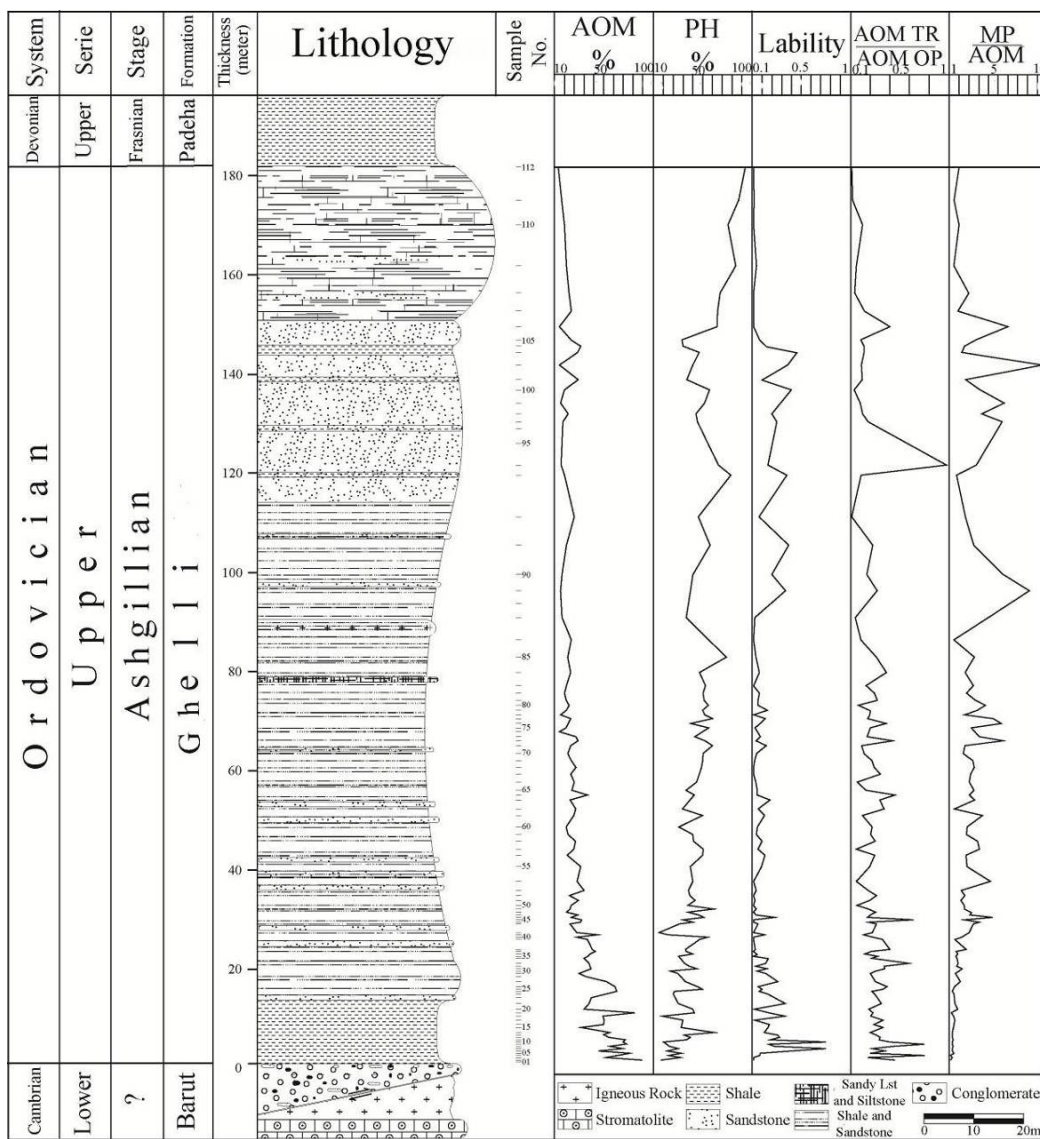
### نتیجه‌گیری

تولی سنگ‌های دیرینه زیستی در شمال روستای رباط قره‌بیل از پیر به جوان شامل سازندهای قلی (اردویسین پسین)، پادها و خوش بیلاق (دونین پسین) می‌باشد. در این پژوهش با بهره‌گیری از برداشت‌های میدانی، بررسی‌های سنگ‌شناسی، ساختهای رسوبی و مجموعه رخساره‌ها و عناصر گرده‌شناسی، محیط رسوب‌گذاری سازند قلی شناسایی شد. بهره‌گیری همزمان از داده‌های یادشده برای مشخص نمودن محیط رسوبی و فرایندهای موثر بر آن در حوضه البرز خاوری (سازند قلی) روشی نوآورانه بشمار می‌رود.

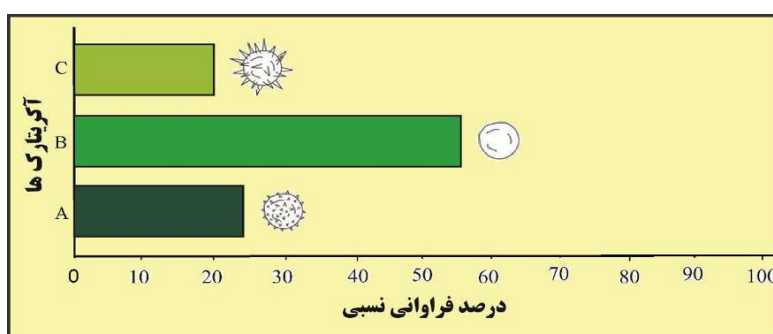
سازند قلی از چهار مجموعه رخساره سنگی ۱- رخساره شیل سیلتی میکادر و ماسه‌سنگ نازک‌لایه (رخساره زیرین)، ۲- رخساره شیل سیلتی میکادر- ماسه‌سنگ نازک‌لایه سرخ رنگ و سنگ‌آهک‌ماسه‌ای (رخساره میانی)، ۳- رخساره سنگ‌آهک‌ماسه‌ای همراه با توده نفوذی آذرین و شیل سیلتی ۴- رخساره ماسه‌سنگ متوسط تا نازک‌لایه- سنگ‌آهک‌ماسه‌ای- لای‌سنگ لامینه‌ای و شیل‌های نازک‌لایه (رخساره بالایی) ساخته شده است.

shelf نیمه‌اکسیدان تا نیمه‌احیایی (هوك، ۱۹۹۱) (شکل‌های ۱۳ تا ۷)، رخساره ۷ با نسبت مواد آلى به ریخت روشن به تیره حدود ۱ نشان‌دهنده رسوب‌گذاری در یک شلف گل‌غالب دارای شرایط اکسیدان- نیمه‌اکسیدان (تایسون، ۱۹۹۳) (شکل‌های ۱۳ تا ۷) و رخساره VII با نسبت مواد آلى به ریخت روشن به تیره ۰/۵ و کمترین پارامتر تغییرپذیری نشان‌گر رسوب‌گذاری در بخش نزدیک به ساحل یک شلف (تایسون، ۱۹۹۳) (شکل‌های ۱۳ تا ۷) می‌باشد. فراوانی مواد آلى به ریخت تیره نشان‌دهنده شرایط اکسیدان و مواد آلى به ریخت روشن نشان‌دهنده شرایط بدون اکسیژن است (جانسونیوس و مک‌گرگور، ۲۰۰۲). نسبت مواد آلى به ریخت روشن به مواد آلى به ریخت تیره نشان‌گر میزان اکسیژن محیط رسوبی است (نسبت بیش از یک نشان‌گر شرایط احیایی و کمتر از یک نشان‌گر شرایط اکسیدان است) (دی‌میسون و مور، ۱۹۸۰؛ ارسگوا و کاستیک، ۲۰۰۶). هم‌چنین با استفاده از نسبت ریخت‌گردهای دریایی به مواد آلى به ریخت تیره و روشن در کنار دیگر پارامترها می‌توان به نرخ رسوب‌گذاری و میزان اکسیژن محیط پی برد (تایسون، ۱۹۹۵). روند افزایشی پارامتر تغییرپذیری از پایین به بالای برش نشان‌دهنده کم‌زرفایی شدن، نسبت مواد آلى به ریخت روشن به تیره (در حدود یک و کمتر از یک) نشان‌دهنده محیط اکسیدان- نیمه‌اکسیدان و نسبت ریخت‌گردهای دریایی به مواد آلى به ریخت (عمدتاً بیش از ۲/۵) نشان‌دهنده نرخ رسوب‌گذاری به نسبت بالای سازند قلی است (شکل ۱۶). نیاز به گفتن است که نرخ رسوب‌گذاری در محدوده مورد بررسی تا حدی بالا بوده که بخش عمده‌ای از ریخت‌گردهای دریایی (آکریتارکها، کیتینوزواها و اسکلودونتها) محفوظ مانده‌اند.

از میکروپلانکتون‌ها به دلیل داشتن فراوانی، تنوع، قابلیت حفظشدنگی زیاد (به علت دارا بودن ترکیبات آلى مقاوم در برابر تخریب) و اندازه کوچک، می‌توان در بازسازی محیط‌رسوبی و شناخت فاصله از خط ساحلی به کاربرد (تانکوف، ۲۰۰۳). استاپلین (۱۹۶۱) با توجه به فراوانی و ریخت‌شناسی ریخت‌گردهای موجود در پیرامون یک ریف دونین در آلبرتای کانادا، مدلی را برای پراکندگی آکریتارک‌ها و الگوی توزیع آن‌ها ارائه نموده است. بر پایه



شکل ۱۶. نمودار تغییرات پارامترهای گرده شناسی سازند قلی در طی اردوبیین پسین. به روند افزایشی نسبی پارامتر تغییرپذیری از پایین به بالا، نسبت مواد آلی بی ریخت روشن به تیره (در حدود یک و کمتر از یک) و نسبت ریخت گرده‌های دریایی به مواد آلی بی ریخت (عمدها بیش از ۲/۵) توجه شود. AOM = مواد آلی بی ریخت، PH = خرد گیاهی، MP = ریخت گرده دریایی، TR = روشن، OP = روشن، تیره



شکل ۱۷. انواع تزیینات ریخت گرده‌های (آکریتارک‌ها) سازند قلی. (A) فرم‌های با زوائد نازک و بدون ارتباط با فضای درون وزیکل. (B) اشکال کروی ساده بدون تزیینات با دیواره نازک. (C) اشکال کروی و چندوجهی دارای دیواره ستبر و زوائد بلند. نیاز به گفتن است که اشکال کروی ساده بدون تزیینات دارای بیشترین فراوانی هستند.

گردهشناصی در سازند قلی نشان‌گر نتایج نسبتاً همانند در شناسایی محیط رسوبی (شلف کمژرف) می‌باشد. پیشنهاد می‌شود که با بهره‌گیری از روش‌های استفاده شده در این پژوهش به همراه بررسی آثار فسیلی (ایکنوفسیل‌ها)، در صورت وجود، محیط رسوب‌گذاری دیگر سازندهای همارز سازند قلی (از نظر سنی) در حوضه البرز و سازندهای همارز سازند قلی در حوضه البرز و ایران مرکزی به صورت دقیق‌تر شناسایی شوند.

#### منابع

- برجی، س. (۱۳۹۶) پالینواستراتیگرافی و پالئوزوگرافی رسوبات پالیزوویک زیرین در ناحیه رباط قرمبیل واقع در شمال خاوری سلسله جبال البرز. پایان‌نامه دکتری رشته چینه‌شناسی و فسیل‌شناسی، دانشگاه آزاد اسلامی، واحد تهران شمال، ۳۴۵ ص.
- جلیلیان، ع. ح. (۱۳۹۵) نهشته‌های پیراکشندی و توفانی در برش الگوی سازند خانه‌کت، تربیس زاگرس بلند، خاور شیراز، دو فصل‌نامه رسوب‌شناسی کاربردی، دوره ۴، شماره ۷، ص. ۳۱-۱۸.
- خرائی، ا.، محمودی‌قرائی، م. ح.، محبوبی، ا.، طاهری، ج (۱۳۹۶) رسخاره‌های توفانی در بخش آغازین سازند نیور (سیلورین پایینی) در جنوب غرب کاشمر. دو فصل‌نامه رسوب‌شناسی کاربردی، دوره ۵، شماره ۹، ص. ۷۴-۸۵.
- درخشی، م.، قاسمی، ح.، سهامی، ط. (۱۳۹۳) زمین‌شناسی و سنگ‌شناسی مجموعه بازالتی سلطان‌میدان در رخنمون‌های شمال و شمال خاور شاهروド، البرز خاوری، شمال ایران. فصل‌نامه علوم‌زمین، شماره ۹۱، ص. ۶۳-۷۶.
- سهیلی، م.، افشار‌حرب، ع. (۱۳۵۹) نقشه زمین‌شناسی کوه کورخود با مقیاس ۱:۲۵۰۰۰. سازمان زمین‌شناسی و اکتشافات معدنی کشور.
- صالحیان، ش. (۱۳۹۰) بررسی پترولولزی و ژئوشیمی سنگ‌های آذرین مافیک موجود در شیسته‌های گرگان. پایان‌نامه کارشناسی ارشد پترولولزی، دانشگاه صنعتی شاهروド، ۱۷۵ ص.
- طاهری، ع.، حیدری، ح. (۱۳۸۳) چینه‌نگاری و محیط‌رسوبی سازند قلی در ناحیه دهملا. هشتمین همایش انجمن زمین‌شناسی ایران، دانشگاه صنعتی شاهروド، ۱۰ ص.
- قاسمی، ح.، درخشی، م. (۱۳۸۷) کانی‌شناسی، ژئوشیمی و نقش فرایند جدایش مکانیکی بلورهای الیوین در تشکیل سنگ‌های آذرین پالیزوویک زیرین منطقه شیرگشت؛ شمال باخت طبس، ایران مرکزی. مجله بلورشناسی و کانی‌شناسی ایران، شماره ۲، ص. ۲۰۷-۲۲۴.
- به ترتیب بخش‌های ماسه‌سنگی و سنگ‌آهک‌ماسه‌ای از آرکوز- ساب‌آرکوز (دارای فلدسپارهای عمده‌تر دگرسان شده، کوارتزهای نیمه‌زاویدار- نیمه‌گردشده و سیمان‌های سیلیسی رورشده هم‌محور، آهن‌دار و کلسیتی) و سنگ‌آهک آلوکم‌دار ماسه‌ای (دارای آلوکم‌های برآکیوپودا، بریوزوا، تنتاکولیتیس و اکینودرم، سیمان‌های آهن‌دار و کلسیتی بلوكی و کوارتزهای نیمه‌زاویدار- نیمه‌گردشده) ساخته شده است. اگر چه که محیط‌های رسوبی سیلیسی‌آواری دریایی کم ژرفی دیرینه پیچیده هستند و ابهامات زیادی در مورد آن‌ها وجود دارد، با این وجود مجموعه رسخاره‌های بررسی شده این سازند نشان‌دهنده یک توالی به نسبت آرمانی از شلف کمژرفای زیر تاثیر امواج و توفان می‌باشد. با توجه به سنگ‌شناسی و به ویژه ساخته‌های رسوبی دیده شده، رسخاره‌های زیرین و میانی در پهنه ساحلی زیرین (بین قاعده موج در شرایط توفانی و آرام) و رسخاره بالایی در پهنه ساحلی بالایی (بالای قاعده موج در شرایط آرام) نهشته شده‌اند. سطح فرسایشی، چینه‌بندی مورب پشت‌های، لامیناسیون مورب، لامیناسیون موازی و نسبت شیل/ماسه‌سنگ زیاد نشان‌دهنده رسوبات توفانی در پهنه ساحلی زیرین و چینه‌بندی مورب تغیری، ریپل‌موجی، دانه‌بندی تدریجی عادی، لامیناسیون موازی، لامیناسیون‌های مورب تابلاور و گوهای شکل و نسبت شیل/ماسه‌سنگ کم نشان‌گر رسوبات توفانی در پهنه ساحلی بالایی هستند. بر پایه اندازه‌گیری فراوانی سه گروه اصلی از عناصر گرده‌شناسی و با بهره‌گیری از نمودار تایسون، چهار رسخاره گرده‌شناسی (III، IVa، V و VII) شناسایی شد. این مجموعه رسخاره‌ای معرف یک محیط شلف است. هم‌چنین با توجه به فراوانی عناصر گرده‌شناسی بدون ترئینات، بررسی روند تغییرات پارامتر تغییرپذیری و مقایسه فراوانی ریخت گرده‌های دریایی و خشکی می‌توان گفت که سازند قلی در ناحیه رباط قره‌بیل در یک محیط دریایی کم ژرف‌تغییرشده است. بررسی پارامترهای گرده‌شناسی نشان می‌دهد که به طور کلی از پایین به بالای ستون چینه‌شناسی از فراوانی مواد آلی بی‌ریخت کاسته و به فراوانی خرد گیاهی‌ها افزوده می‌شود که بیان گر یک روند کمژرف‌افشونده از پایین به بالای سازند قلی است. نیاز به گفتن است که مقایسه داده‌های سنگ‌شناسی و ساخته‌های رسوبی با داده‌های

- Ercegova, M., Kostic, A (2006) Organic facies and palynofacies: Nomenclature, classification and applicability for petroleum source rock. *International Journal of Coal Geology*, 68: 70-78.
- Ghavidel-Syooki, M., Borji, S (2018) Chronostratigraphy of acritarchs and chitinozoans from upper Ordovician strata from the Robat-e Gharabil Area, NE Alborz Mountains, Northern Khorassan Province: stratigraphic and paleogeographic implications. *Journal of Sciences, Islamic Republic of Iran*, 29: 35-51.
- Ghavidel-Syooki, M., Hassanzadeh, J., Vecoli, M (2011) Palynology and isotope geochronology of the Upper Ordovician-Silurian successions (Gheli and Soltan Maidan Formations) in the Khoshyeilagh Area, Eastern Alborz Range, northern Iran; stratigraphic and palaeogeographic implications. *Review of Palaeobotany and Palynology*, 164: 251-271.
- Golonka, J., Ross, M. I., Scotese, C. R (1994) Phanerozoic paleogeographic and paleoclimatic modeling maps. In: Embry, A. F., Beauchamp, B., Glass, D. J. (EDS.), Pangea: global environments and resources. Canadian Society of Petroleum Geology, Memoir, 17: 1-47.
- Green, A. N., Ovechkina, M. N., Mostovski, M. B (2012) Late Holocene shoreface evolution of the wave dominated Durban Bight, KwaZulu-Natal, South Africa: a mixed storm and current driven system. *Continental Shelf Research*, 49: 56-64.
- Hobday, D. K., Morton, R. A (1984) Lower Cretaceous shelf storm deposits, northeast Texas. In: Tillman, R. W., Siemers, C. T. (EDS.), Siliciclastic shelf sediments. Society of Economic Paleontologists and Mineralogists, Special Publication, 34: 205-213.
- Huc, A. Y (1991) Deposition of organic facies. AAPG studies in Geology, no. 30, 237 p.
- Jansonius, J., McGregor, D. C (2002) Palynology: principles and applications. American Association of Stratigraphic Palynologists Foundation, 561 p.
- Johnson, H. D., Baldwin, C. T (1986) Shallow siliciclastic seas. In: Reading, H. G. (ED.), Sedimentary environments and facies, 2 nd edition. Black-Well, Oxford, 229-282.
- Kreisa, R. D (1981) Storm-generated sedimentary structures in subtidal marine with examples from the Middle and Upper Ordovician of southwestern Virginia. *Journal of Sedimentary Petrology*, 51: 823-848.
- Li, F., Zhang, H., Jing, Z., Cheng, X (2017) Paleoenvironmental analysis of the ichnogenus Zoophycos in the Lower Devonian tempestite sediments of the Longmenshan area, Sichuan, China. *Palaeogeography, Palaeoclimatology, Palaeoecology*, 465: 156-167.
- قاسمی، ح.، کاظمی، ز. (۱۳۹۲) محیط زمین‌ساختی و خصوصیات محل منشا سنگ‌های آذرین موجود در سازند ابرسج (اردوویسین بالایی)، البرز خاوری، شمال شهرود. *مجله بلورشناسی و کانی‌شناسی ایران*. شماره ۲، ص. ۳۱۹-۳۳۰.
- قاسمی، ح.، کاظمی، ز.، صالحیان، ش. (۱۳۹۴) مقایسه سنگ‌های آذرین مافیک سازند قلی (اردویسین بالایی) و شیسته‌های گرگان در پهنه البرز خاوری. *فصلنامه علوم زمین*. شماره ۹۶، ص. ۲۶۳-۲۷۶.
- قویدل‌سیوکی، م.، خندایی، م. (۱۳۹۱) پالینواستراتیگرافی و پالئوشیمی سنگ‌های سازند شکرک و قلی واقع در ناحیه ابرسج، شمال باختر شهرود. پژوهش‌های چینه‌نگاری و رسوب‌شناسی، شماره ۴۹، ص. ۳۵-۵۸.
- Alavi, M (1996) Tectonostratigraphic synthesis and structural style of the Alborz mountain system in northern Iran. *Journal of Geodynamics*, 21: 1-33.
- Basilici, G., Vieira de Luca, P. H., Poire, D. G (2012) Hummocky cross-stratification-like structures and combined-flow ripples in the Punta Negra Formation (Lower-Middle Devonian, Argentine Precordillera): A turbiditic deep-water or storm-dominated prodelta inner-shelf system? *Sedimentary Geology*, 267 (268): 73-92.
- Chakraborty, P. P., Sarkar, A., Das, K., Das, P (2009) Alluvial fan to storm-dominated shelf transition in the Mesoproterozoic Singhora Group, Chatisgarh Supergroup, Central India. *Precambrian Research*, 170: 88-106.
- Chaudhuri, A. K (2005) Climbing ripple structure and associated storm-lamination from a Proterozoic carbonate platform succession: their environmental and petrogenetic significance. *Journal of Earth System Science*, 3: 199-209.
- Courtinat, B., Piriou, S., Rio, M (2003) Phytoclasts in palynofacies definition: the example of Rhaetian sedimentary organic matter in SE France. *Revue de micropaleontology*, 46: 11-21.
- Demaison, G. J., Moore, G. T (1980) Anoxic environments and oil source bedgenesis. *The AAPG Bulletin*, 64: 1179-1209.
- Einsel, G., Seilacher, A (1991) Distinction of tempestites and turbidites. In: Einsele, G., Ricken, W., Seilacher, A. (EDS.), cycles and events in stratigraphy. Springer-Verlag, Berlin, 377-383.
- El Atfy, H., Abeed, Q., Uhl, D., Littke, R (2016) Palynology, palynofacies analysis, depositional environments and source rock potential of Lower Cretaceous successions in southern Iraq. *Marine and Petroleum Geology*, 76: 362-376.

- from sediments. Papers, Department of Geology, University of Queensland., 11: 23 p.
- Puga, A., Aguirre, B. J (2017) Contrasting storm-versus tsunami-related shell beds in shallow-water ramps. *Palaeogeography, Palaeoclimatology, Palaeoecology*, 471: 1-14.
- Reading, H. G (1996) Sedimentary environment: processes, facies and stratigraphy, 3<sup>rd</sup> edition. Black-Well, Oxford, 589 p.
- Seilacher, A., Aigner, T (1991) Storm deposition at the bed, facies, and basin scale: the geologic perspective. In: Einsele, G., Ricken, W., Seilacher, A. (EDS.), cycles and events in stratigraphy. Springer-Verlag, Berlin, 249-267.
- Soria, J. M., Giannetti, A., Monaco, P., Corbi, H., Garcia-Ramos, D., Viseras, C (2014) Cyclically-arranged, storm-controlled, prograding lithosomes in Messinan terrigenous shelves (Bajo Segura Basin, Western Mediterranean). *Sedimentary Geology*, 310: 1-15.
- Staplin, F. L (1961) Reef-controlled distribution of Devonian microplankton in Alberta. *Palaeontology*, 4: 392-424.
- Swift, D. J. P., Hudelson, P. M., Brenner, R. L., Thompson, P (1987) Shelf construction in a foreland basin: storm beds, shelf sandbodies, and shelf-slope depositional sequences in the Upper Cretaceous Mesaverde Group, Book Cliffs, Utah. *Sedimentology*, 34: 423-457.
- Tonkov, S (2003) Aspects of Palynology and Palaeoecology: Festschrift in Honour of Elissaveta Bozilova, 282 p.
- Traverse, A (2007) Palaeopalynology, 2<sup>nd</sup> edition. Springer, 814 p.
- Tyson, R. V (1995) Sedimentary organic matter: Organic facies and palynofacies. Springer, Netherlands, 615 p.
- Tyson, R. V (1993) Palynofacies analysis. In: Jenkins, D. J. (ED.), Applied Micropalaeontology. Kluwer Academic Publishers, Dordrecht, 269 p.
- Vakarelov, B. K., Ainsworth, R. B., Mac Eachern, J. A (2012) Recognition of wave-dominated, tide-influenced shoreline systems in the rock record: variations from a microtidal shoreline model. *Sedimentary Geology*, 279: 23-41.
- Van der Zwan, C. J (1990) Palynostratigraphy and palynofacies reconstruction of the Upper Jurassic to lowermost Cretaceous of the Draugen Field, offshore mid Norway. Review of Palaeobotany and Palynology, 62: 157-186.
- Van Loon, A. J (2009) Soft-sediment deformation structures in siliciclastic sediments: an overview. *Geologos*, 15: 3-55.
- Walker, R. G., Plint, A. G (1992) Terrigenous clastic facies models. In: Walker, R. G., James, N. P., (EDS.), Facies models: response to sea-level change, Geological Association of Canada, 73-264.
- Liu, X., Zhong, J. H., Grapes, R., Bian, S. H., Liang, C (2012) Late Cretaceous tempestite in northern Songliao Basin, China. *Journal of Asian Earth Sciences*, 56: 33-41.
- Mishra, S., Singh, V (2018) Palynology, palynofacies, and taphonomical studies of Kamthi Formation, (Godavari Graben), southern India: Implications to biostratigraphy, palaeoecology, and depositional environment. *International Journal of Coal Geology*, 195: 102-124.
- Mohseni, H., Al-Aasm, I. S (2004) Tempestite deposits from a storm influenced carbonate ramp: an example from the Pabdeh Formation, Zagros Basin, SW Iran. *Journal of Petroleum Geology*, 27: 163-178.
- Mount, J (1985) Mixed siliciclastic and carbonate sediments: a proposed first-order textural and compositional classification. *Sedimentology*, 32: 435-442.
- Muttoni, G., Mattei, M., Balini, M., Zanchi, A., Gaetani, M., Berra, F (2009) The drift history of Iran from the Ordovician to the Triassic. In: Brunet, M. F., Wilmsen, M., Granath, J. W. (EDS.), South Caspian to Central Iran basins. Geological Society of London, Special Publication, 312: 7-29.
- Myrow, P (2016) Sedimentary environments: storms and storm deposits. Reference Module in Earth Systems and Environmental Sciences, 580-587.
- Nichols, G (2009) Sedimentology and stratigraphy, 2<sup>nd</sup> edition. Wiley-Blackwell, Chichester, 419 p.
- Nummedal, D (1991) Shallow marine storm sedimentation- the oceanographic perspective. In: Einsele, G., Ricken, W., Seilacher, A. (EDS.), cycles and events in stratigraphy. Springer-Verlag, Berlin, 227-248.
- Oboh-Ikuenobe, F. E., Villiers, S. E (2003) Dispersed organic matter in samples from the western continental shelf of Southern Africa: palynofacies assemblages and depositional environments of Late Cretaceous and younger sediments. *Palaeogeography, Palaeoclimatology & Palaeoecology*, 201: 67-88.
- Paris, F., Thusu, B., Rasul, S., Meinhold, G., Strogen, D., Howard, J. P., Abutaruma, Y., El gadry, M., Whittam, A. G (2012) Palynological and palynofacies analysis of early Silurian shales from borehole CDEG-2a in Dor el Gussa, eastern Murzuq Basin, Libya. Review of Palaeobotany and Palynology, 174: 1-26.
- Pettijohn, F. J., Potter, P. E., Siever, R (1987) Sand and sandstone, 2<sup>nd</sup> edition. Springer-Verlag, New York, 553 p.
- Phipps, D., Playford, G (1984) Laboratory techniques for extraction of palynomorphs

- Wang, J., Xie, X., Pang, X., Liu, B (2017) Storm-reworked shallow-marine fans in the Middle Triassic Baise area, South China. *Sedimentary Geology*, 349: 33-45.
- Wendt, J., Kaufmann, B., Belka, Z., Farsan, N., Bavandpur, A (2005) Devonian/Lower Carboniferous stratigraphy, facies patterns and palaeogeography of Iran. Part II. North and central Iran. *Acta Geologica Polonica*, 55: 31-97.